



UNIVERSITAT DE BARCELONA



PRODUCCIÓ I DISTRIBUCIÓ D'UNA TERRISSERIA MEDIEVAL: CABRERA D'ANOIA

Esther Travé Allepuz

Tesi Doctoral dirigida per:
Dr. José Ignacio Padilla Lapuente

ANNEX II

LÀMINES

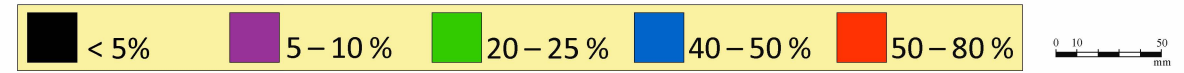
**(MATERIAL CERÀMIC CLASSIFICAT
EN FUNCIO DELS CRITERIS DE
MORFOLOGIA FORMAL I FUNCIONAL)**

En aquest annex presentem una compilació de dibuixos de material ceràmic classificat en taules, de forma que les peces siguin fàcilment localitzables i el conjunt de làmines esdevingui un catàleg útil per al lector de cara a la comparació tipològica amb materials procedents d'altres conjunts ceràmics. En la làmina I, que comentarem tot seguit presentem un quadre de síntesi de l'evolució de la producció ceràmica al llarg de la vida útil del taller. La resta de làmines corresponen als diferents fragments estudiats classificats en funció de la morfologia formal i funcional i –en el cas del grup *pot globular*– de la UE a la qual queden adscrits i el tipus al qual pertanyen. D'aquesta manera, les làmines II – XIII corresponen a la forma *pot globular*, majoritària al jaciment i que pot comprendre indistintament fragments d'*olla*, *cannata* o *gerra*. En l'encapçalament d'aquestes làmines hi figura el número d'UE a la qual pertanyen o bé l'estructura –en el cas del Forn CDA-99-T i l'Obrador 2– acompanyada per la relació d'UEs que la formen. Apareix representada únicament la secció vertical de cada peça, amb la indicació del tipus corresponent en funció de la morfologia del llavi a l'inici de cada grup i ordenades en funció del seu índex de vectorització. A la part inferior de cada perfil apareix el número d'inventari de la peça. Per tal de facilitar la lectura i en bé de la claredat d'aquest tipus de làmines, no hi figura el número d'UE a cada peça car totes elles pertanyen al mateix conjunt. Únicament en el cas de les estructures del Forn CDA-99-T i l'Obrador 2, el número de la UE corresponent apareix a l'inici de cada seqüència de perfils. Les làmines XIV – XXIII recullen la resta de formes diferents del grup *pot globular*. En aquest cas, les làmines mostren les representacions en secció vertical i alçat i inclouen materials procedents de totes les unitats estudiades. És per això que a la base de cada dibuix hi apareix, el número d'UE corresponent davant del número d'inventari.

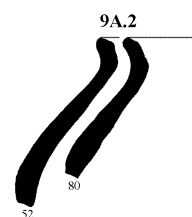
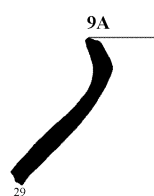
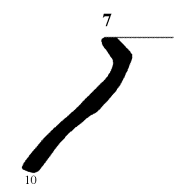
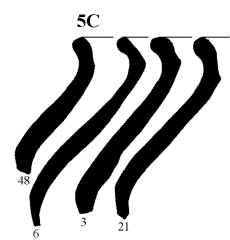
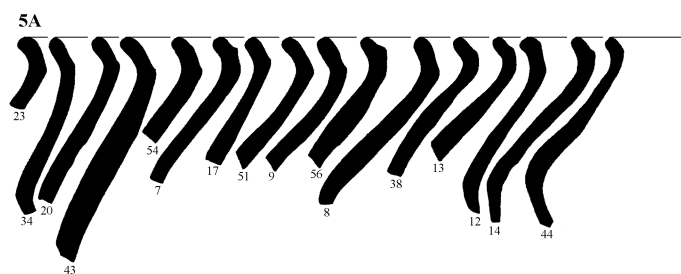
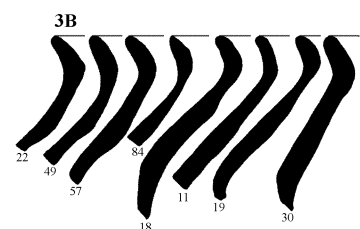
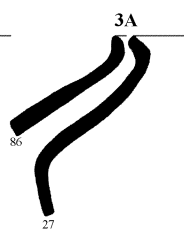
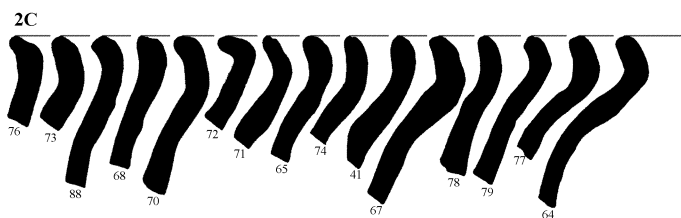
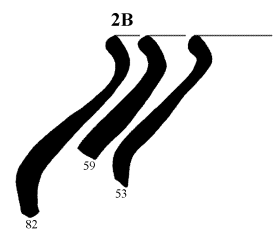
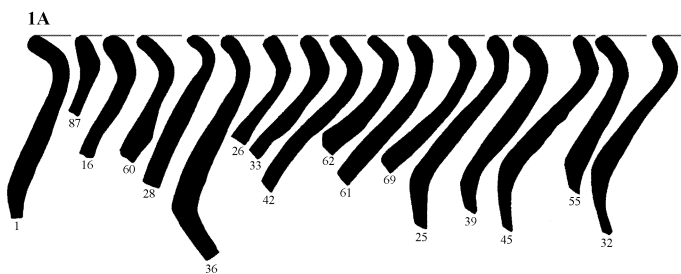
La làmina I, per contra, presenta un objectiu diferent: Mentre que el conjunt de làmines presenta un catàleg de materials classificats, la primera constitueix una representació de l'evolució morfològica de la forma *pot globular* en funció de la tipologia formal de la vora. En aquest cas, exposem en forma de taula una classificació per tipus (*en columnes*) d'una selecció de peces representatives de cada UE, classificades en funció de les diferents fases evolutives de la terrisseria (*en fileres*). Els

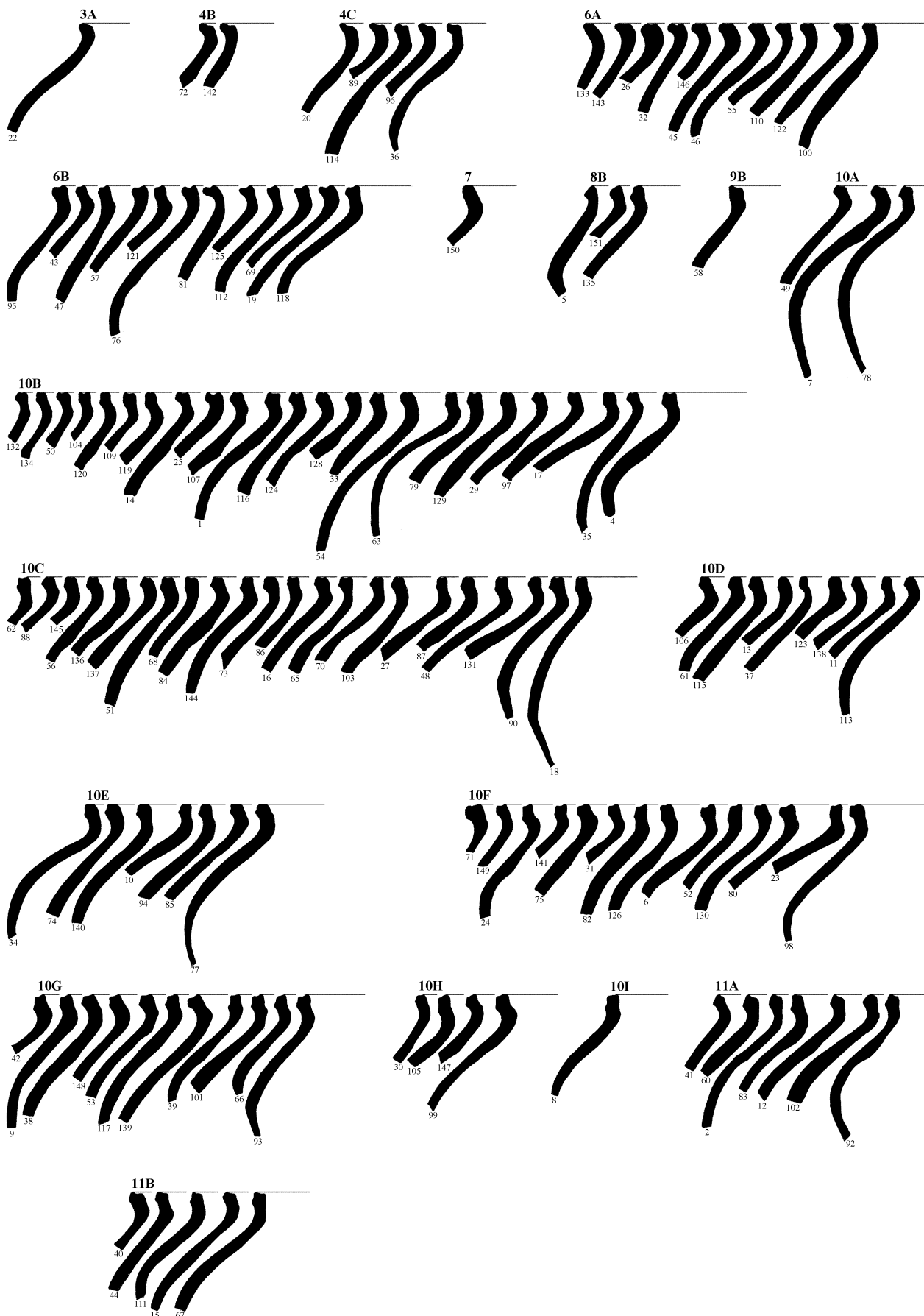
tipus que constitueixen un percentatge inferior al 5% queden representats en el color negre habitual, mentre que els percentatges superiors apareixen destacats en colors: morat per a freqüències entre 5 – 10%, verd per a freqüències entre 20 – 25%, blau per a freqüències entre 40 – 50% i vermell per a freqüències entre 50 – 80%. Els percentatges han estat calculats per a cada UE en funció del total de fragments de la UE en qüestió. El resultat mostra com el tipus 10 és clarament predominant durant la fase 4 i pràcticament desapareix en les altres fases, mentre que a les fases finals, el tipus 4 esdevé majoritari tot i que en conjunts que presenten una heterogeneïtat major. Pot ser d'utilitat per al lector comparar aquesta interpretació gràfica de l'evolució morfològica del jaciment amb la representació per diagrames de sectors que presentem en el cos del treball (fig. 231), a la pàgina 319.

FASES DE PRODUCCIÓ



	TIPUS 1	TIPUS 2	TIPUS 3	TIPUS 4	TIPUS 5	TIPUS 6	TIPUS 7	TIPUS 8	TIPUS 9	TIPUS 10	TIPUS 11	TIPUS 12
FASE 2 – s. XII (u.e. 120)												
FASE 4 – s. XIII (u.e. 490)												
(u.e. 374)												
FASE 6 – s. XIII - XIV (u.e. 584)												
(u.e. 966)												
(u.e. 405 - 407)												
FASE 6b – s. XIV (u.e. 199)												
(u.e. 1024)												

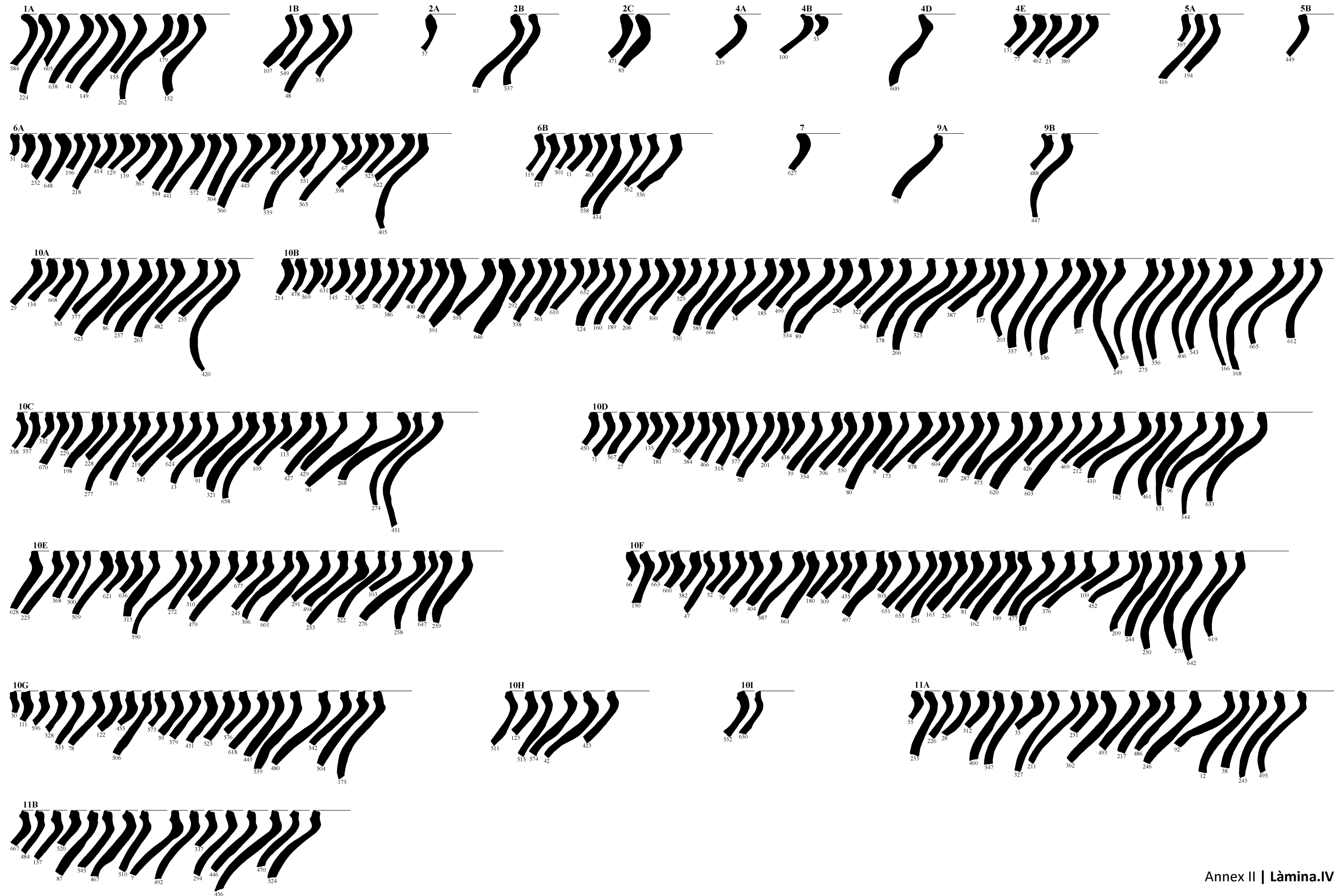




POT GLOBULAR

(Terrassa intermèdia)

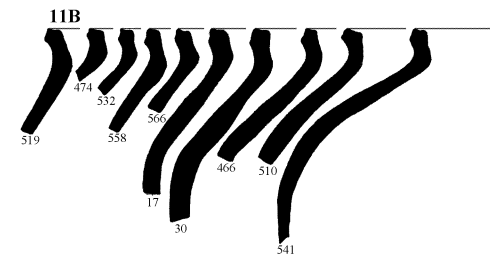
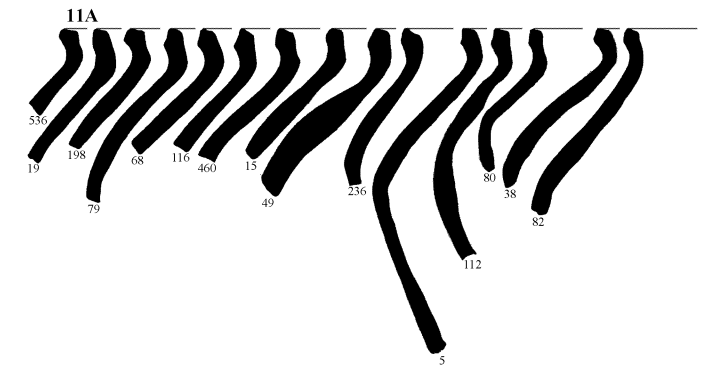
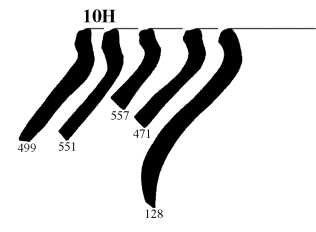
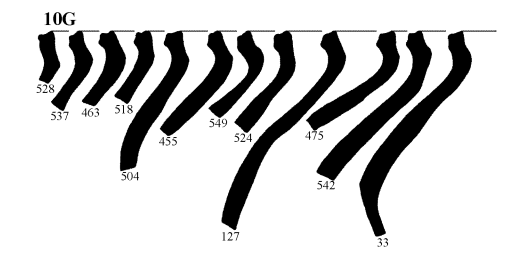
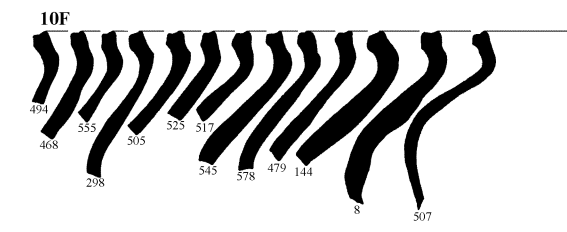
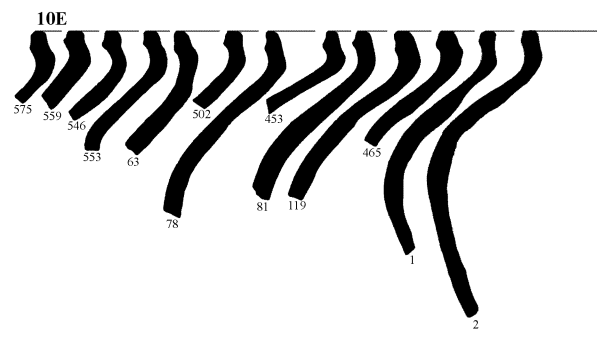
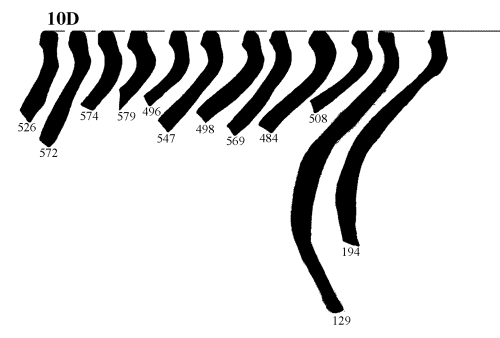
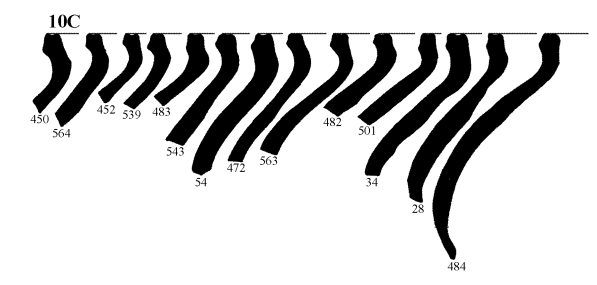
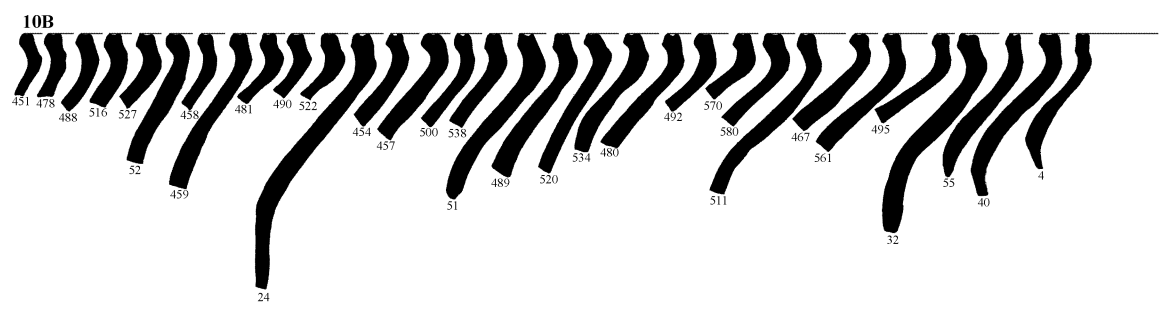
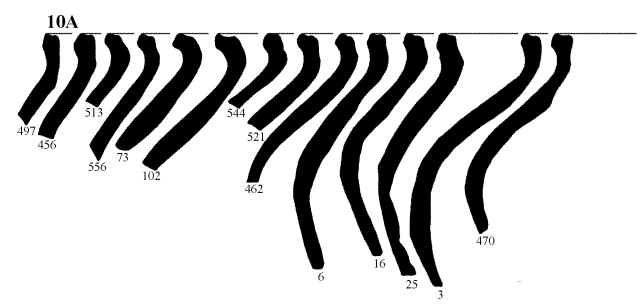
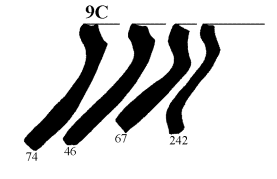
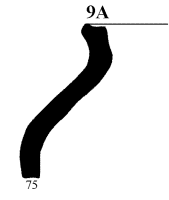
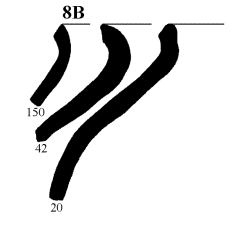
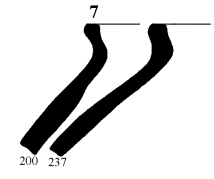
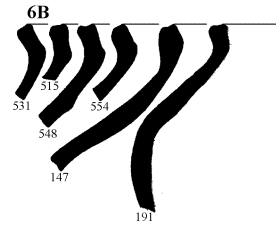
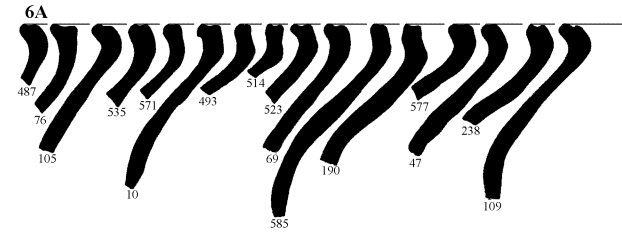
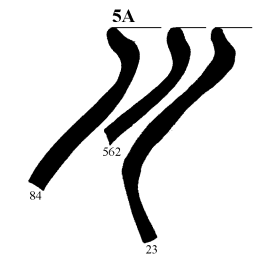
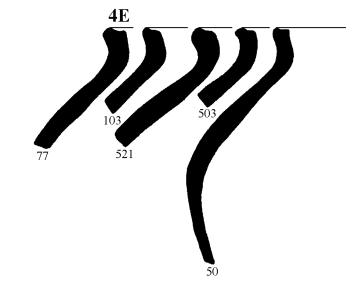
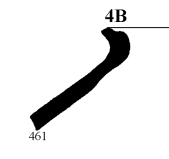
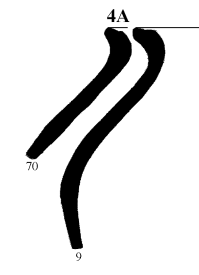
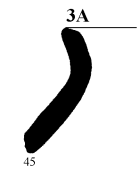
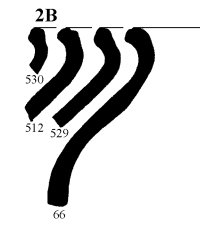
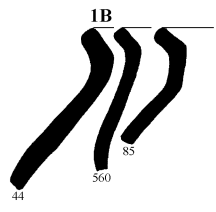
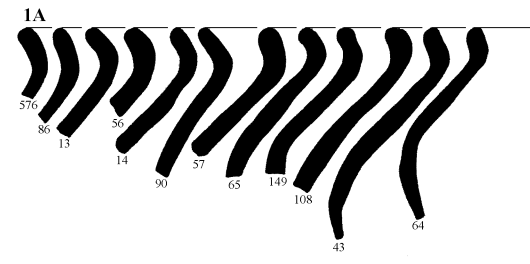
U.E.374-C



POT GLOBULAR

(Terrassa intermèdia)

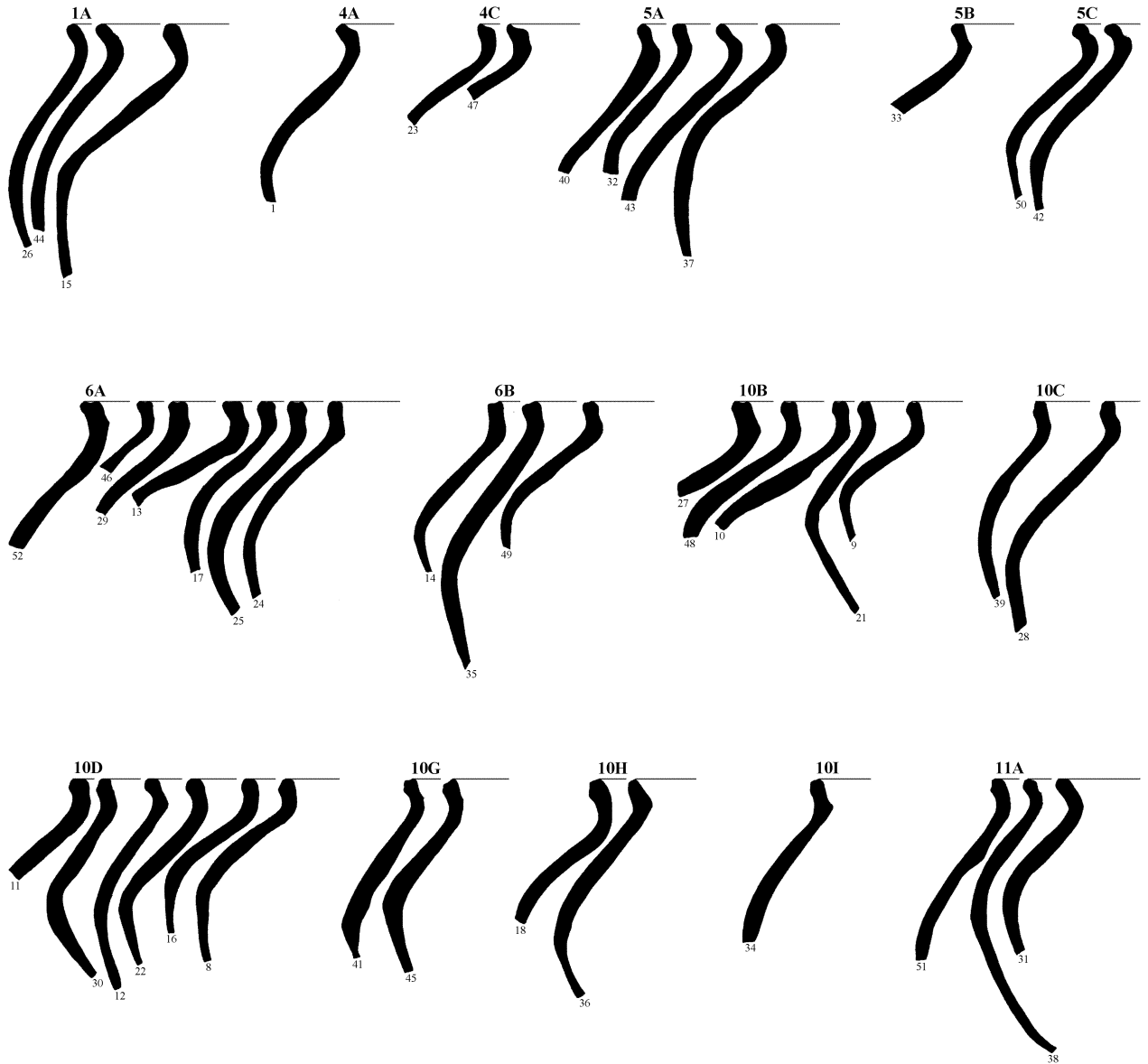
U.E.374-B



POT GLOBULAR

(Terrassa intermèdia)

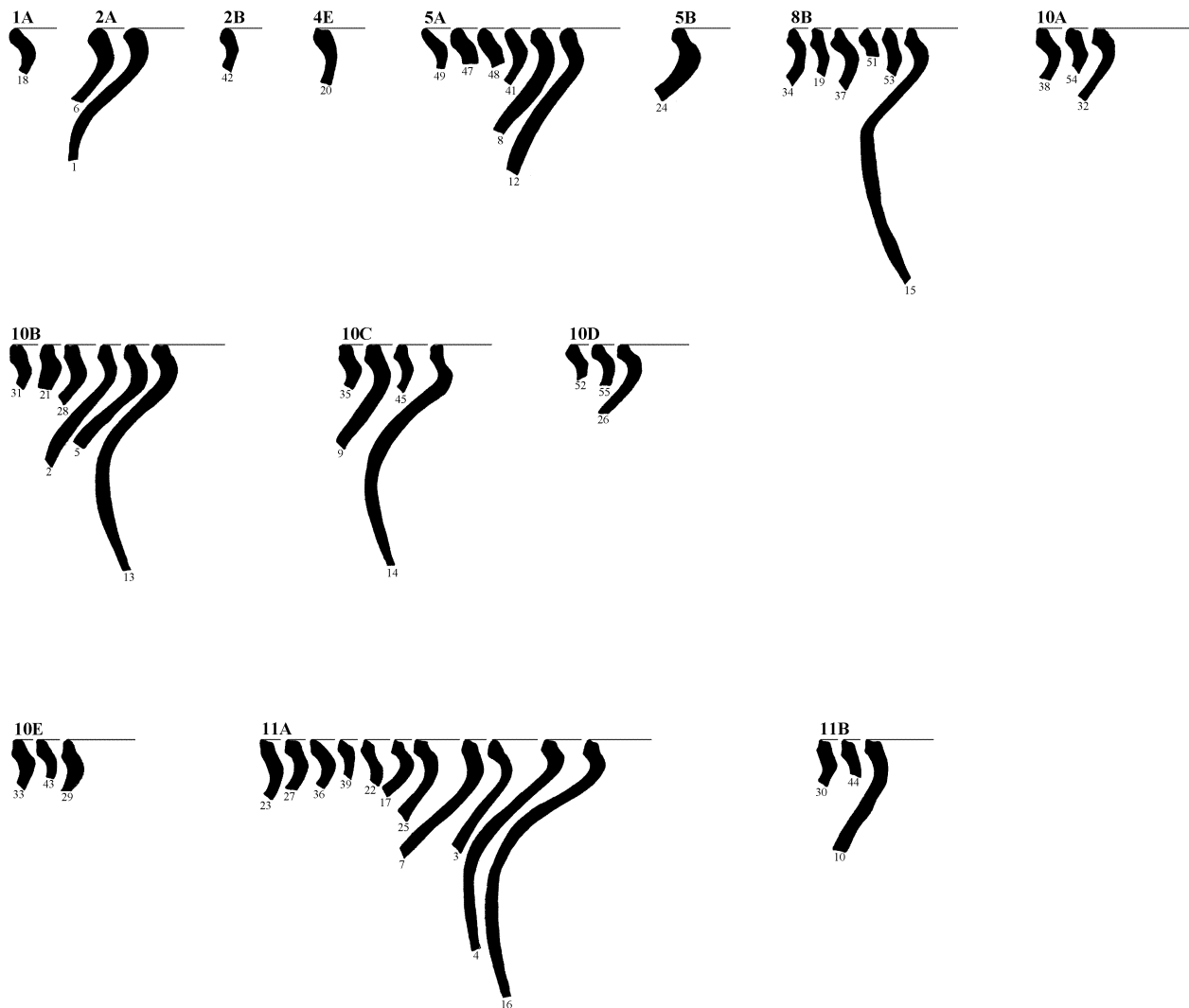
U.E.374-A



POT GLOBULAR

(Terrassa inferior)

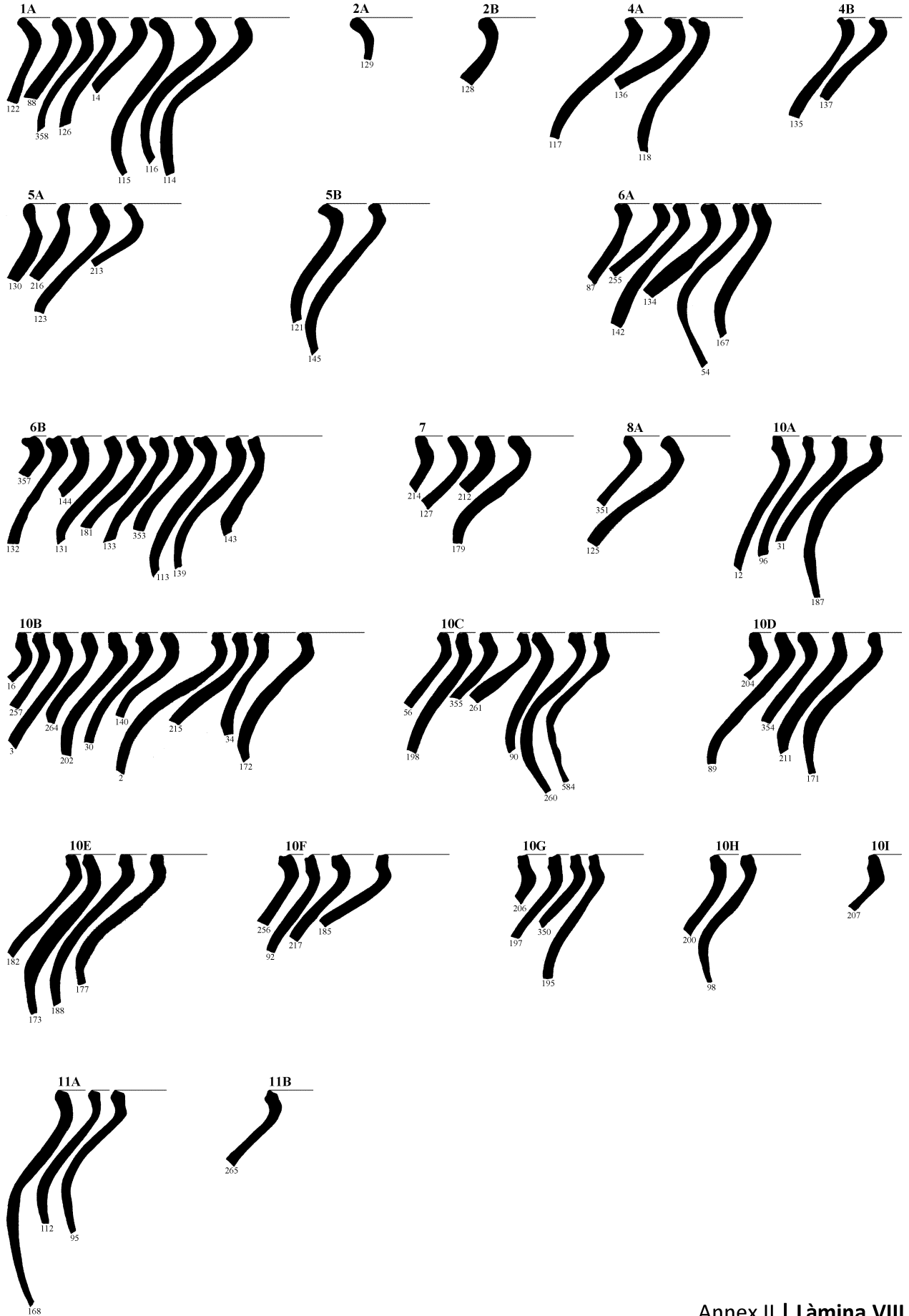
U.E.922



POT GLOBULAR

(Terrassa superior)

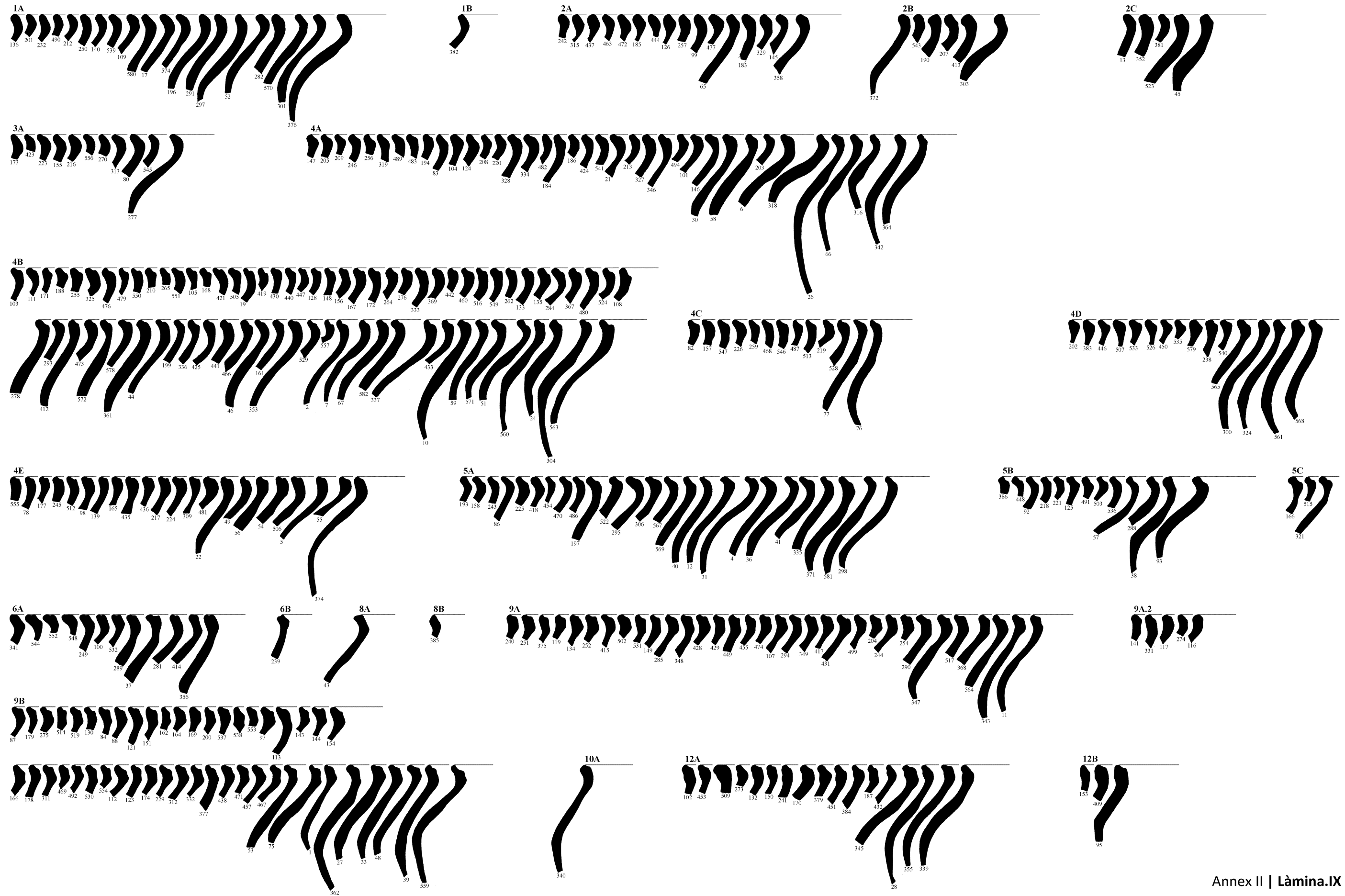
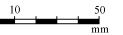
U.E.584



POT GLOBULAR

(Terrassa inferior)

U.E.966

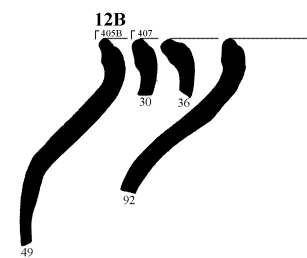
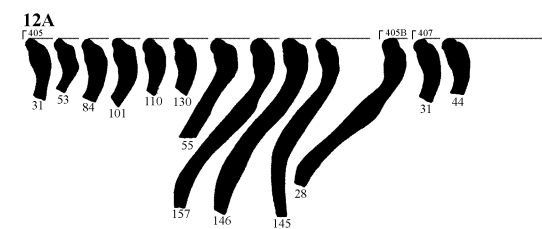
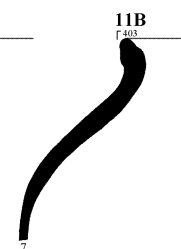
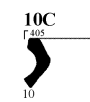
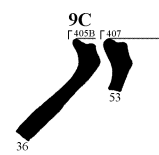
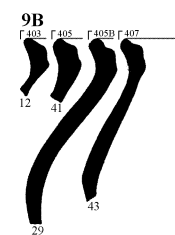
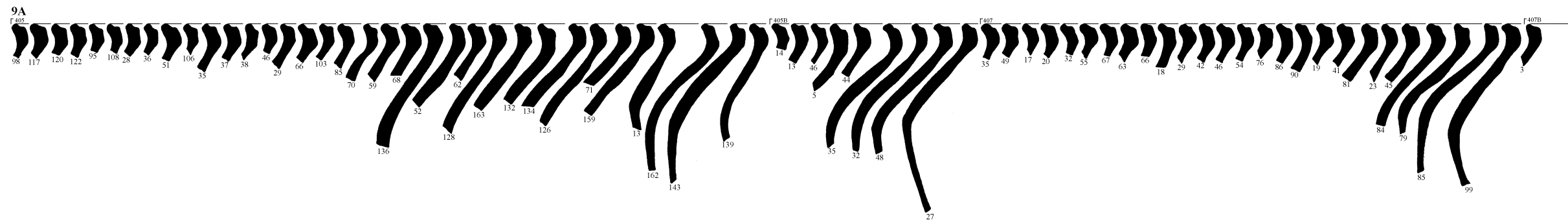
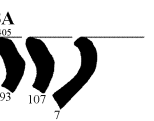
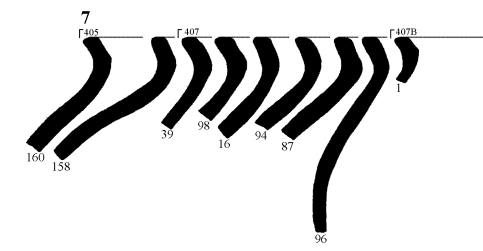
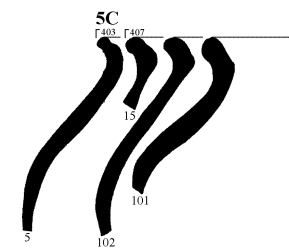
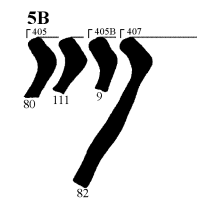
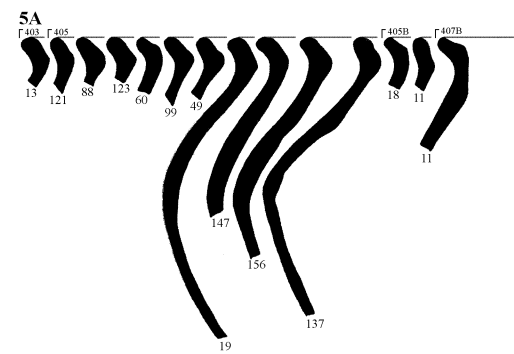
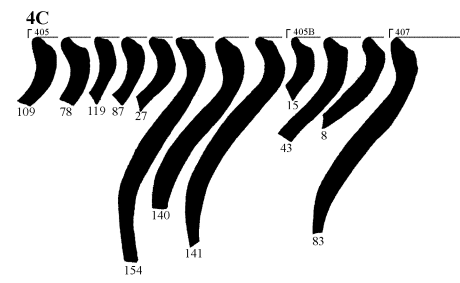
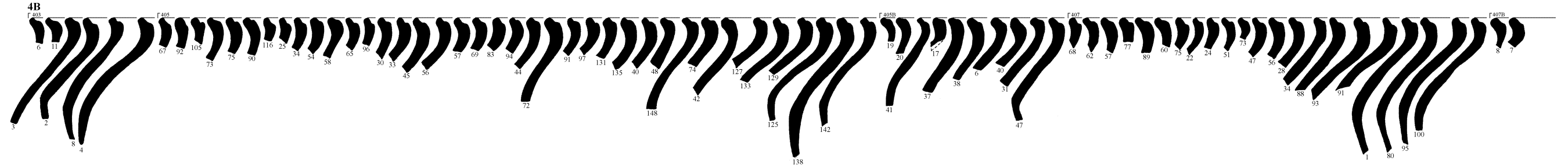
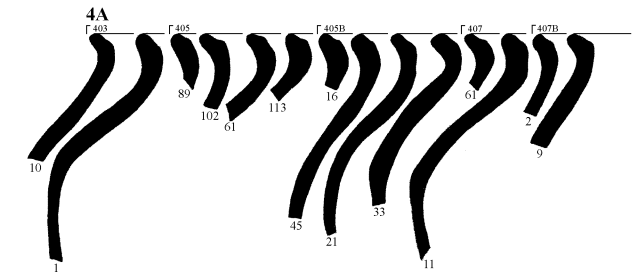
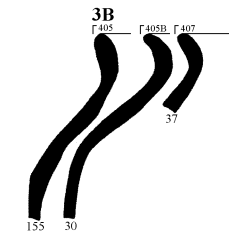
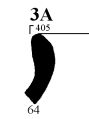
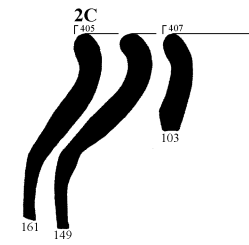
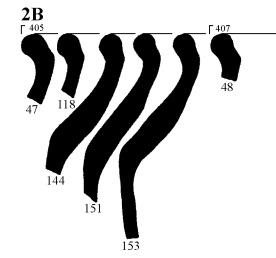
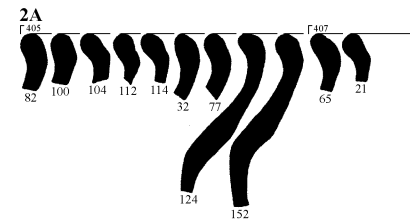
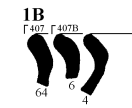
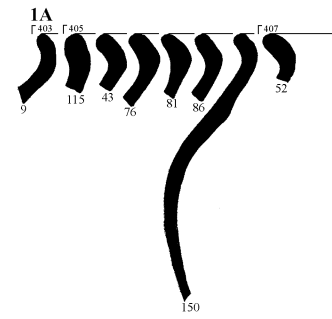
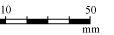


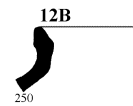
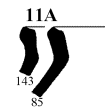
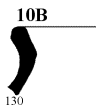
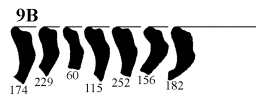
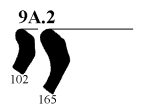
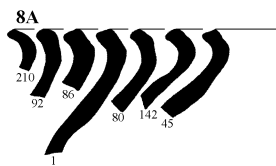
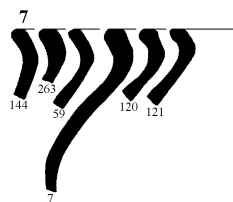
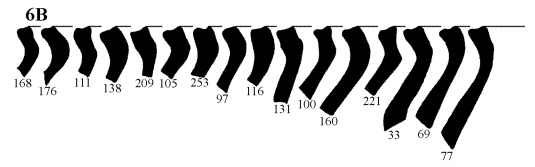
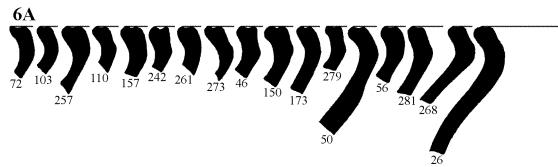
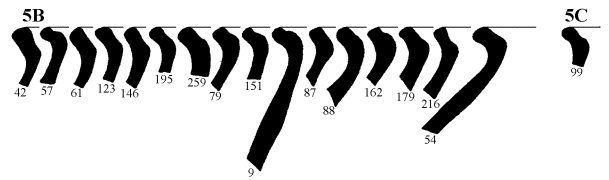
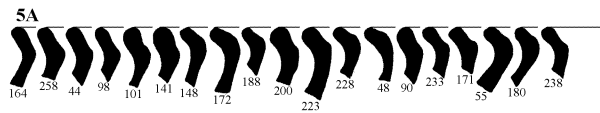
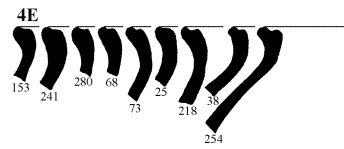
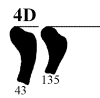
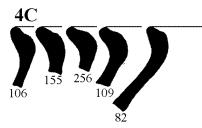
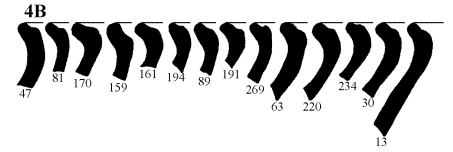
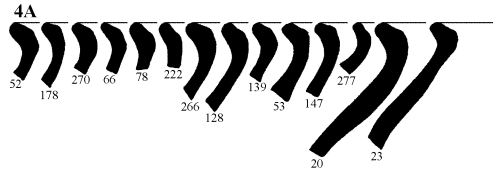
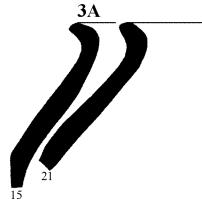
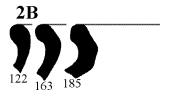
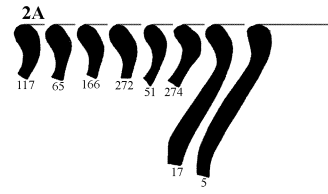
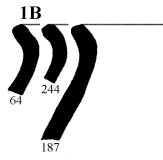
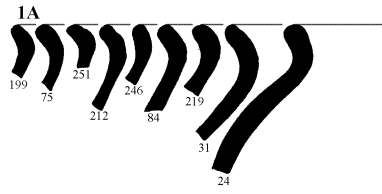
POT GLOBULAR

(Terrassa intermèdia)

Forn CDA-99-T

U.E. 403, 405, 405-B, 407, 407-B



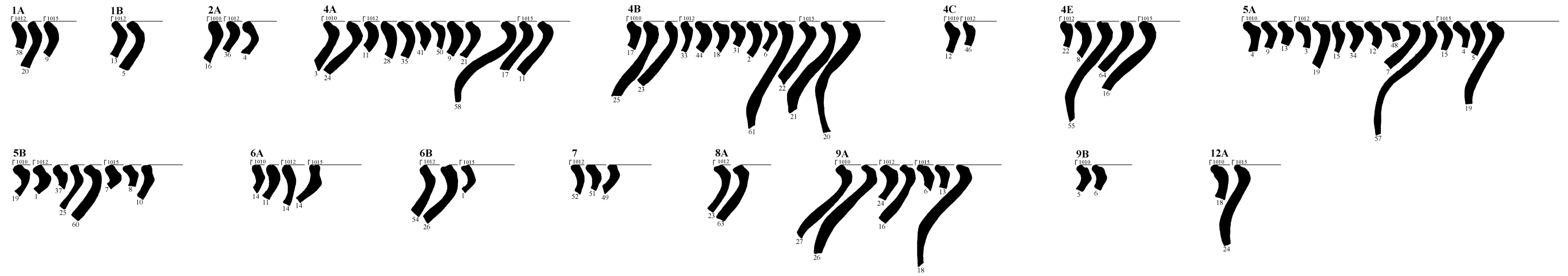


POT GLOBULAR

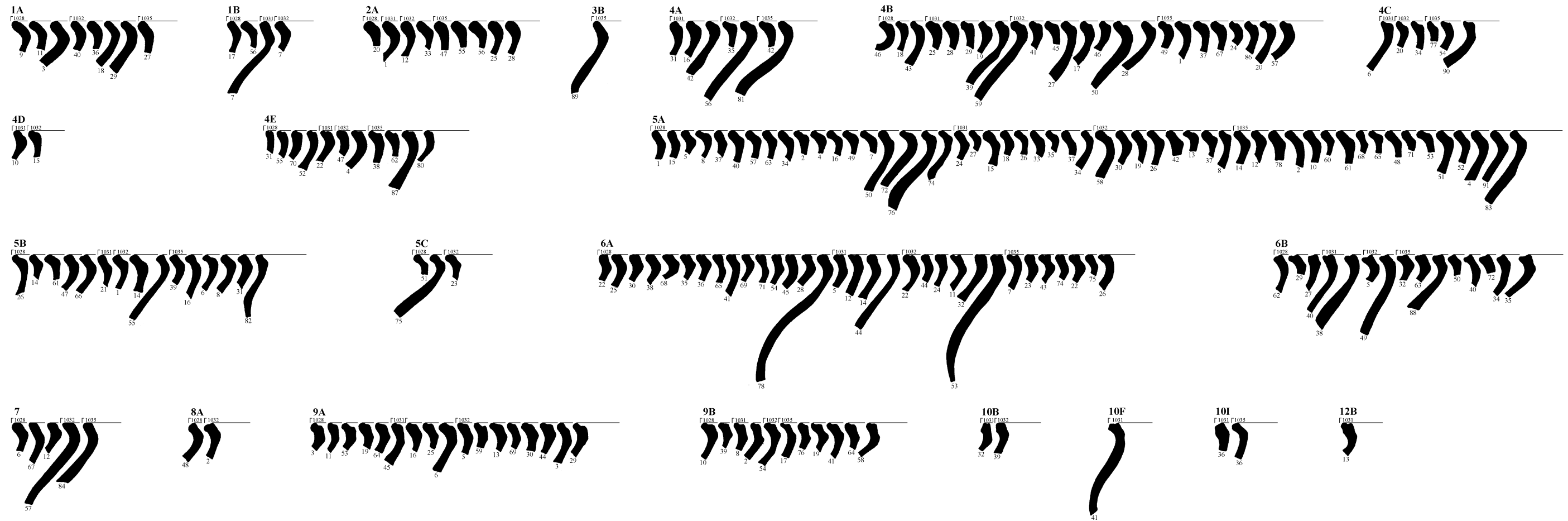
(Terrassa intermèdia)

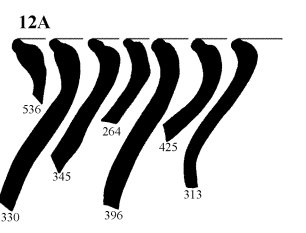
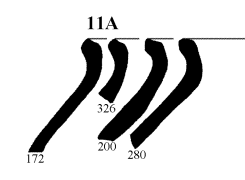
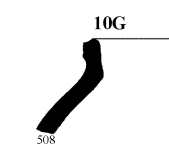
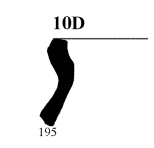
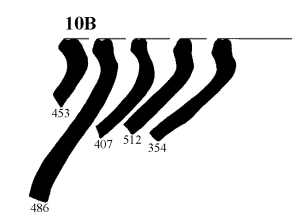
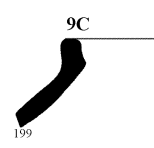
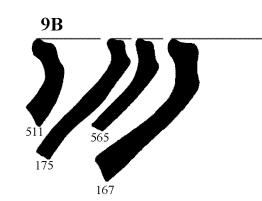
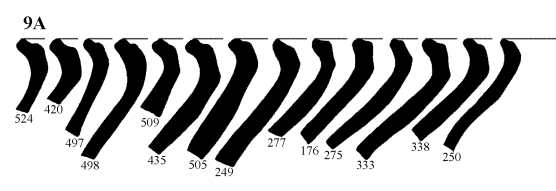
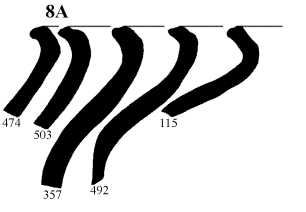
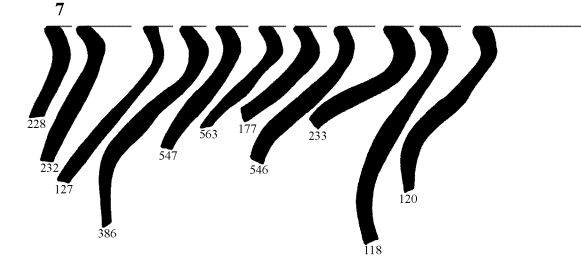
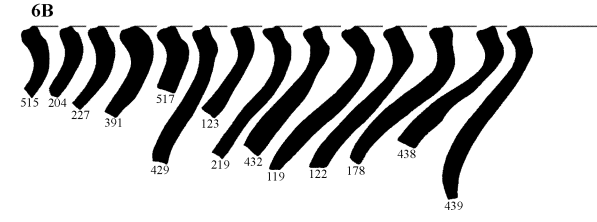
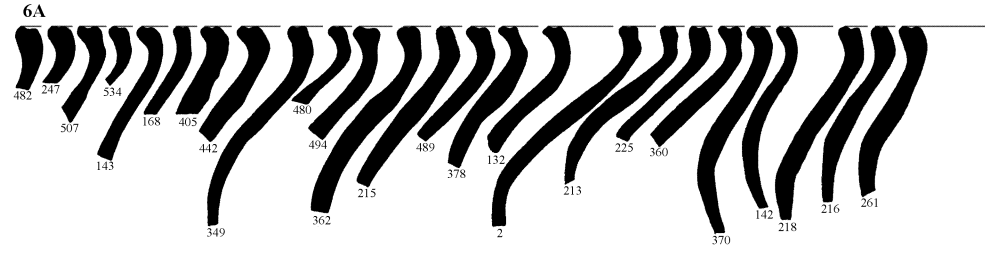
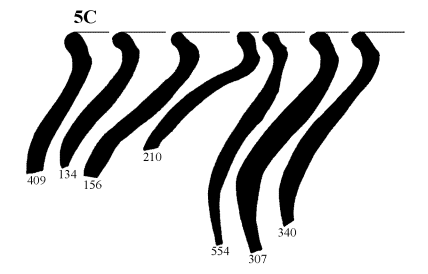
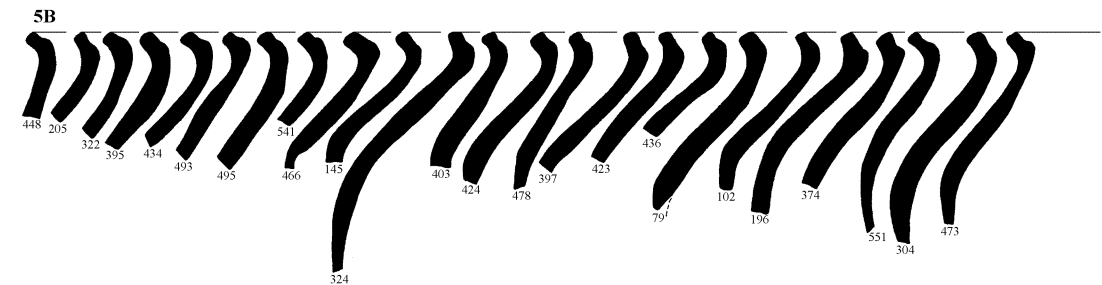
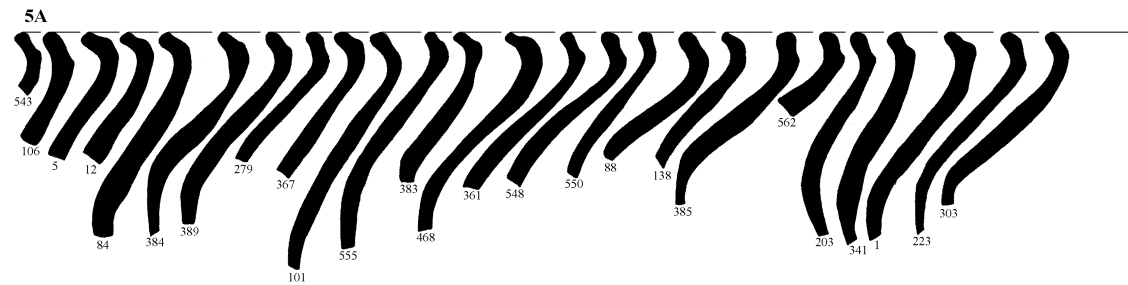
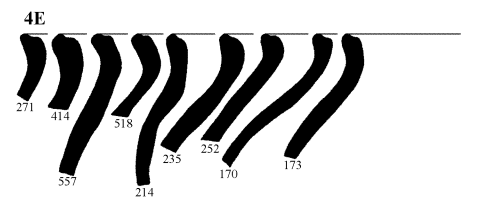
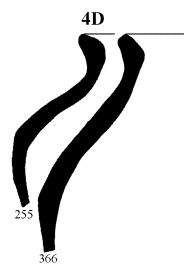
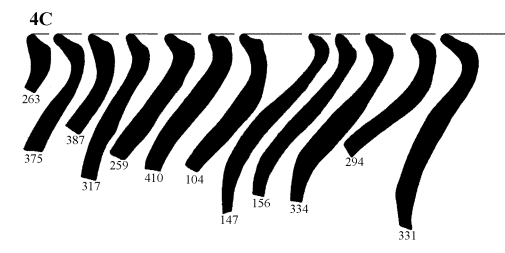
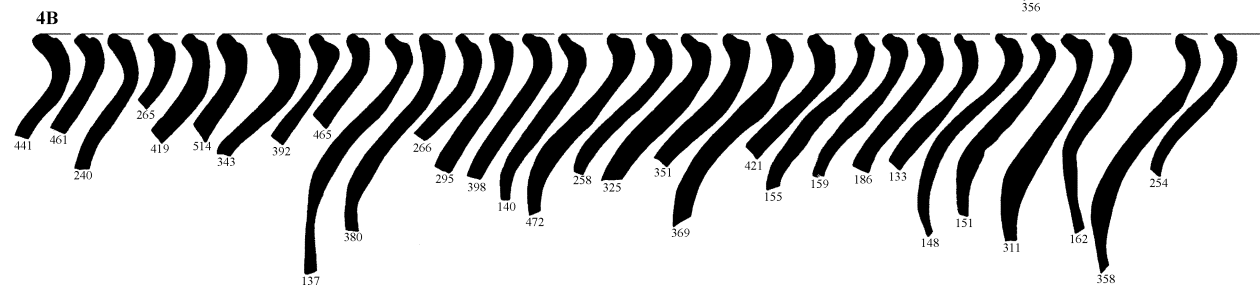
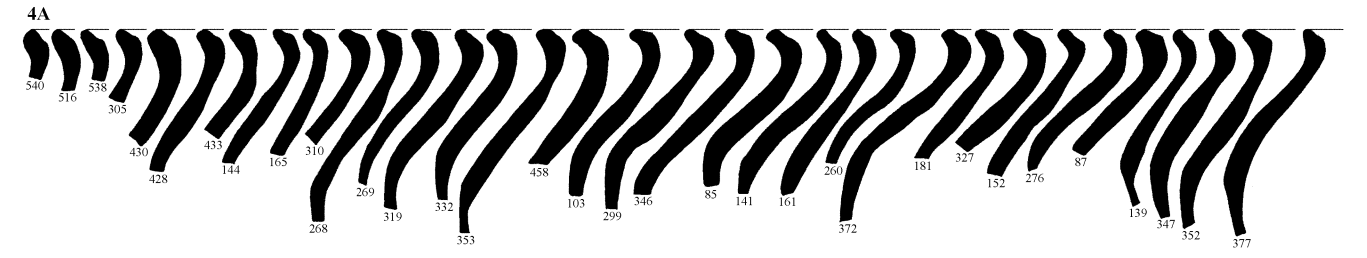
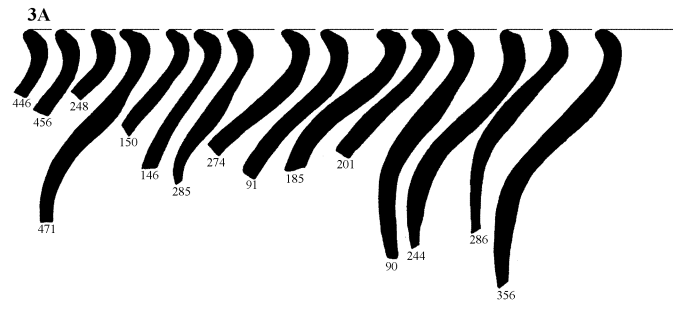
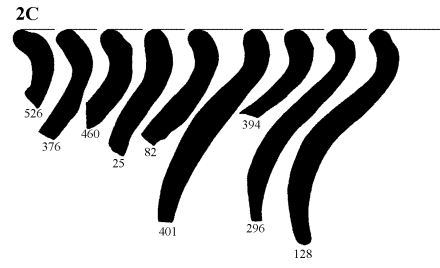
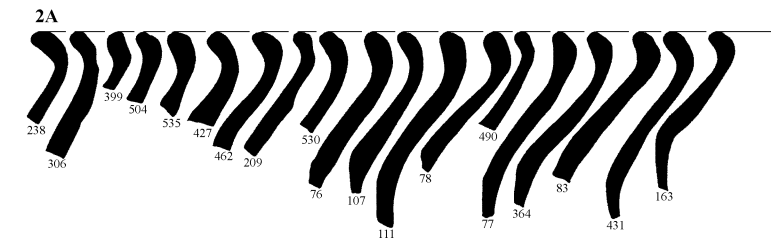
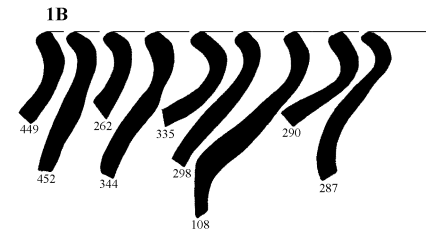
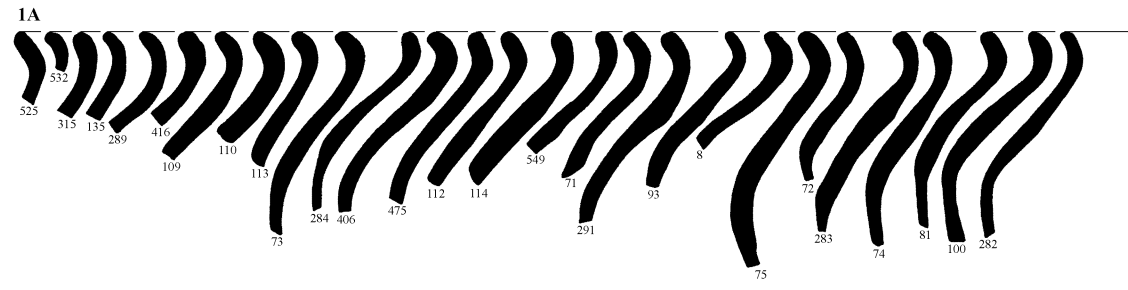
OBRADOR 2

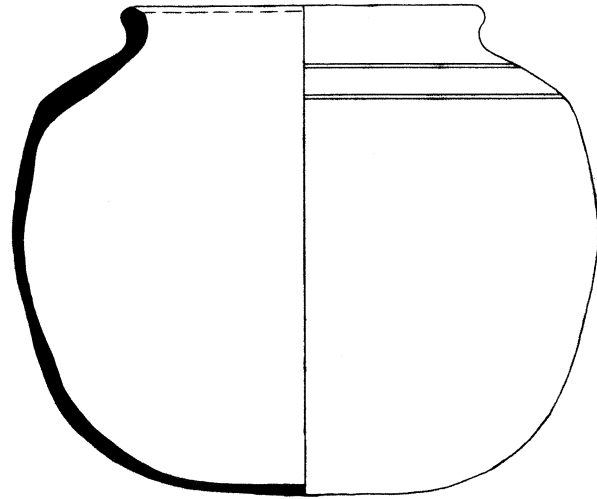
U.E. 1010, 1012, 1015



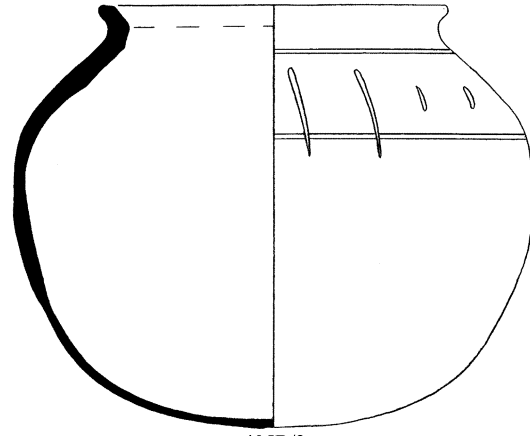
U.E. 1028, 1031, 1032, 1035



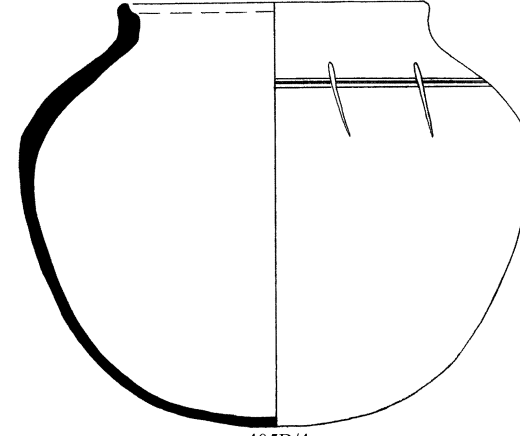




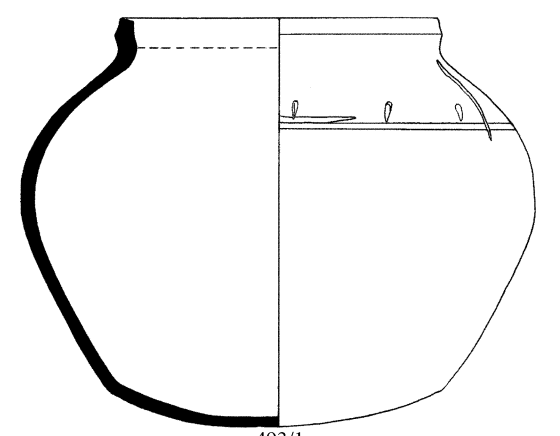
405/18



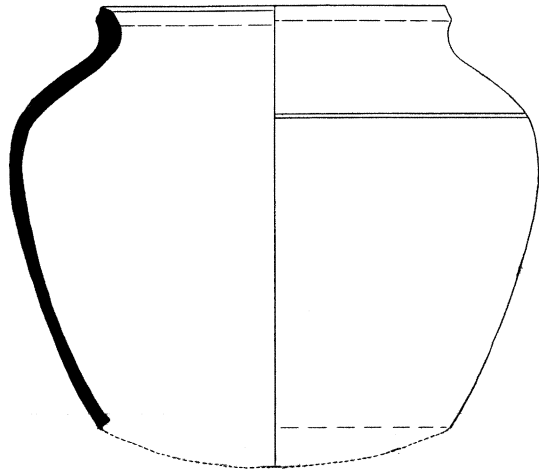
405B/3



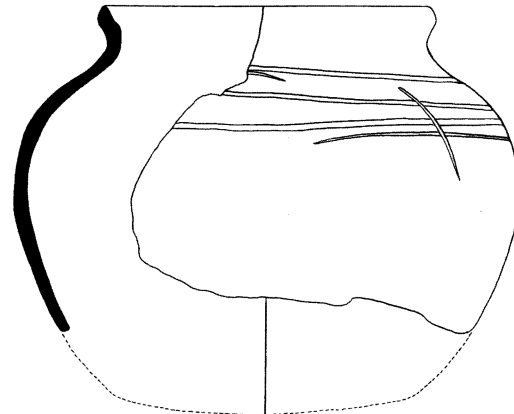
405B/4



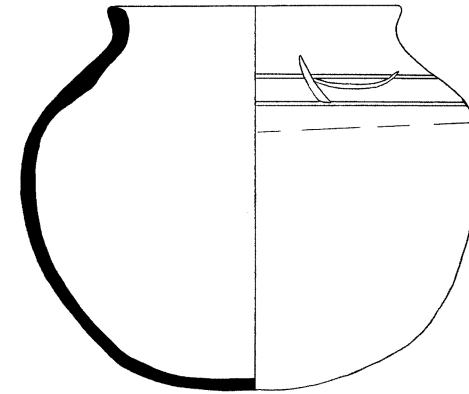
493/1



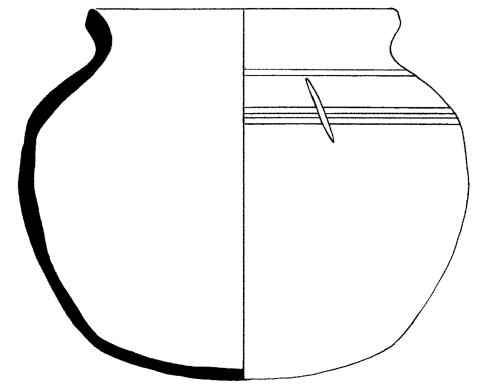
229/22



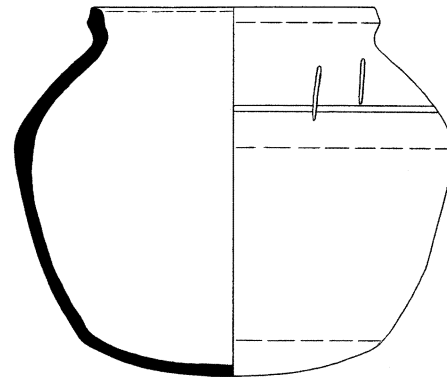
232/269



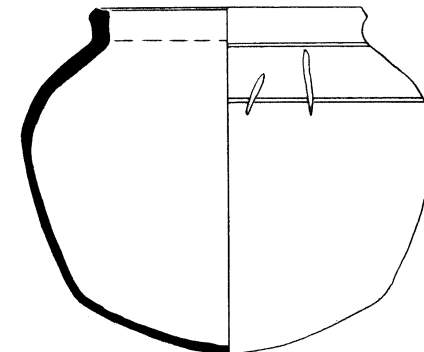
405/1



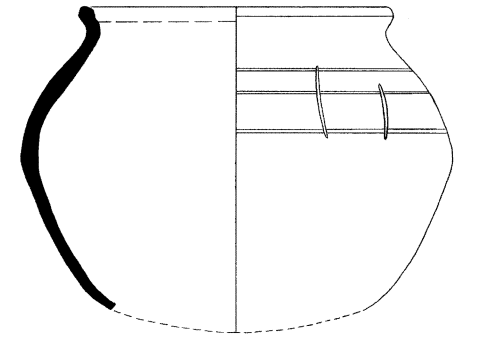
227/30



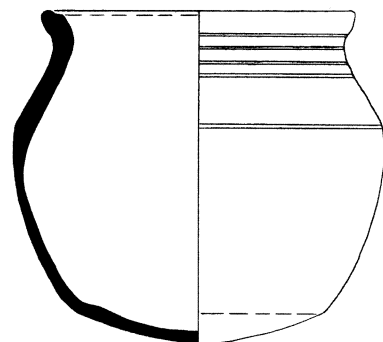
232/3



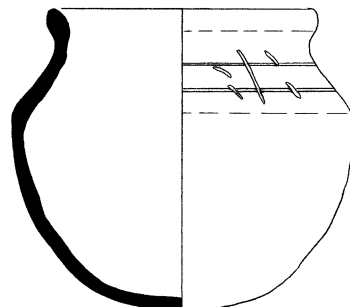
391/4



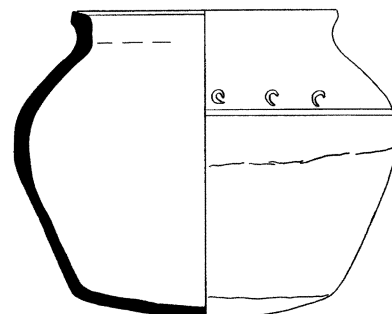
374A/38



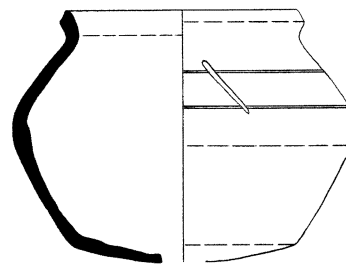
405/14



405/11



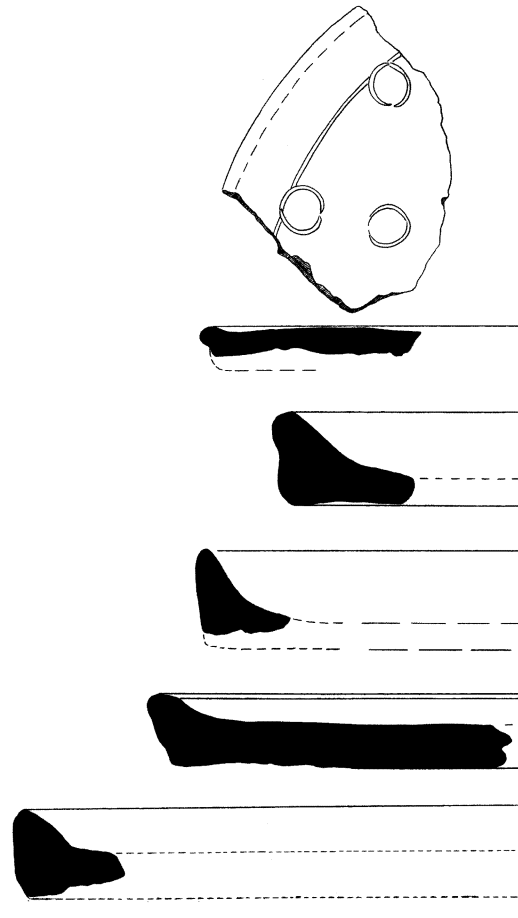
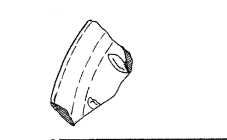
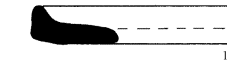
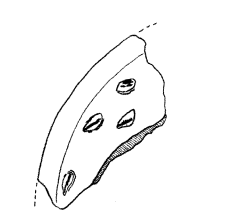
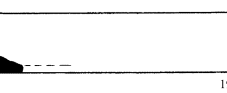
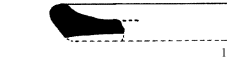
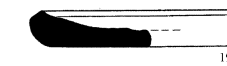
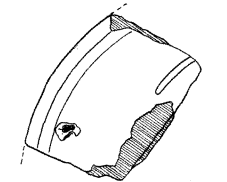
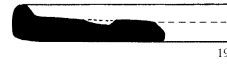
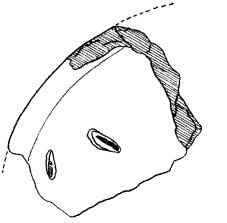
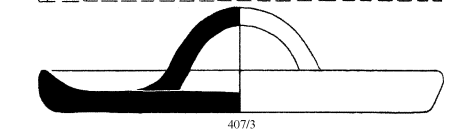
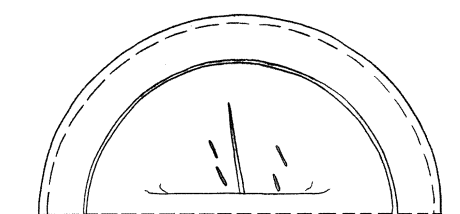
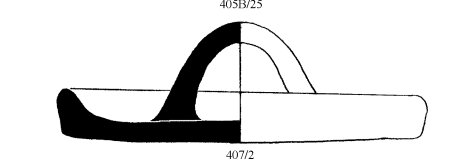
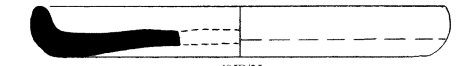
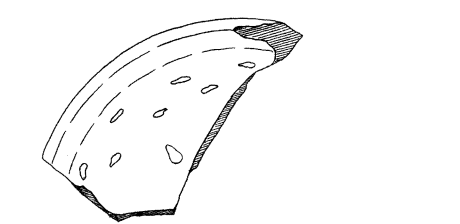
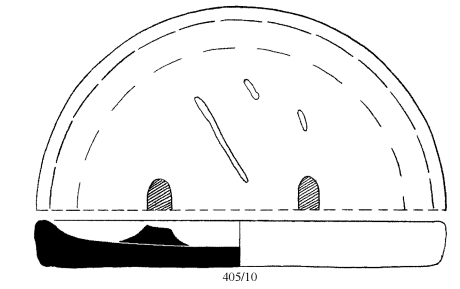
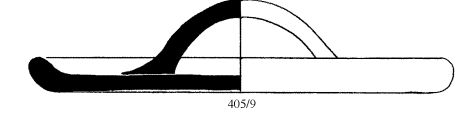
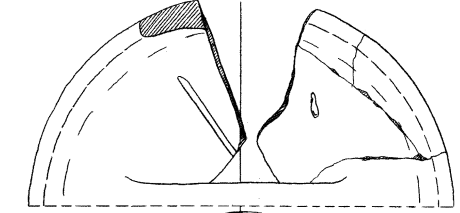
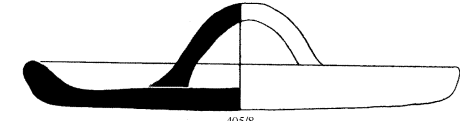
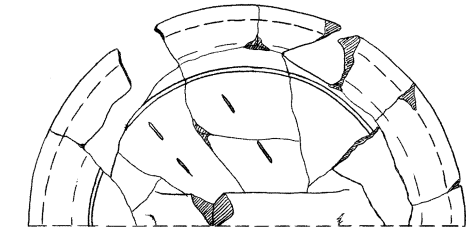
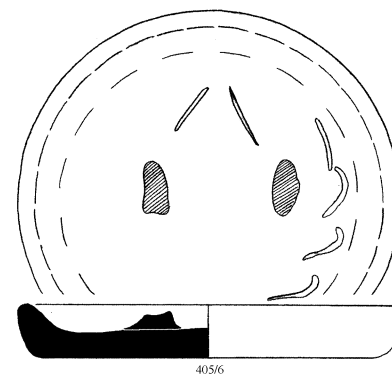
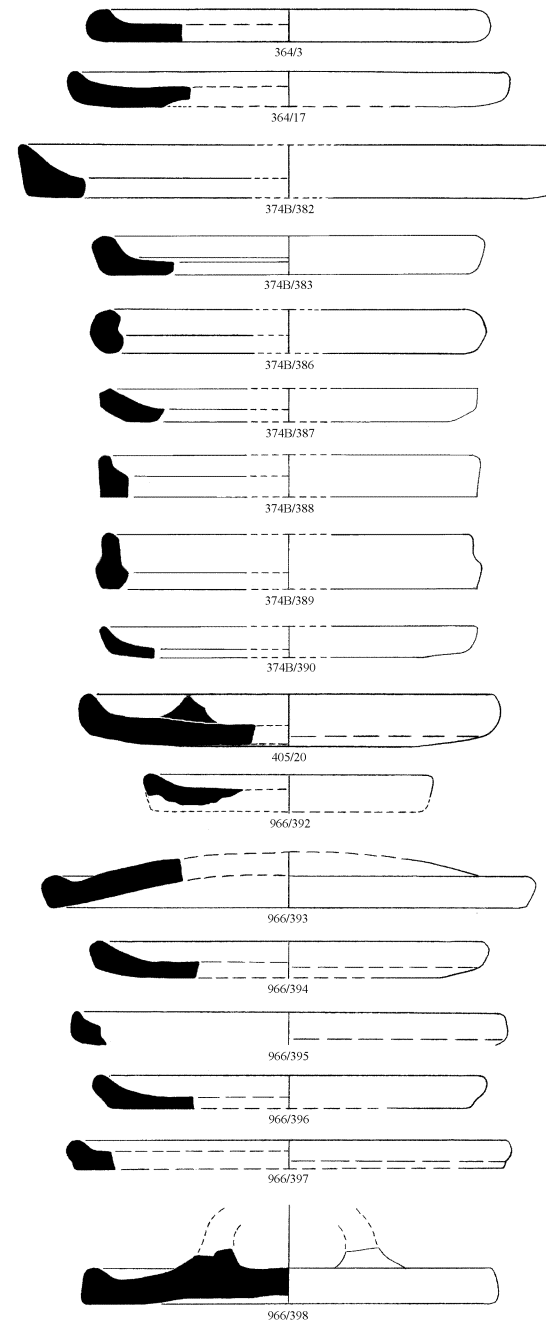
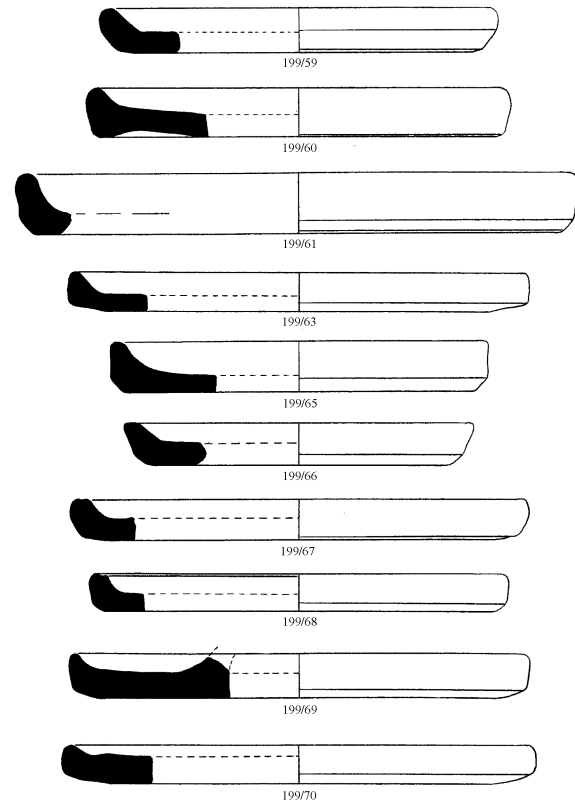
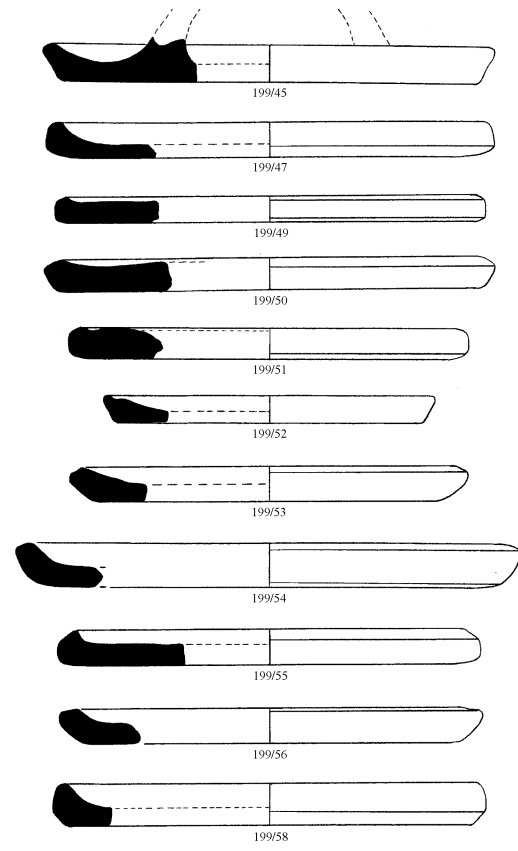
227/3

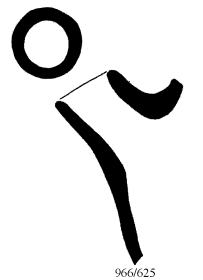
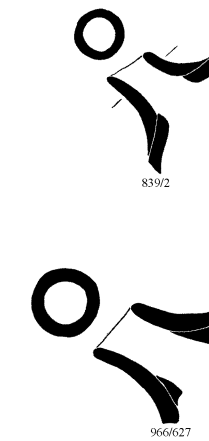
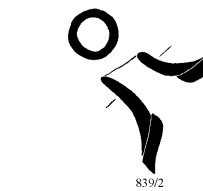
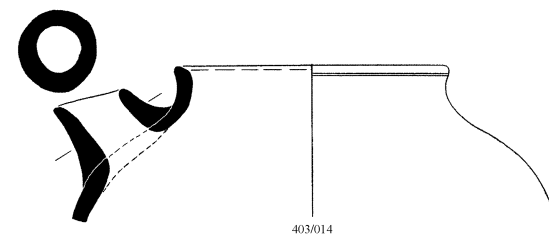
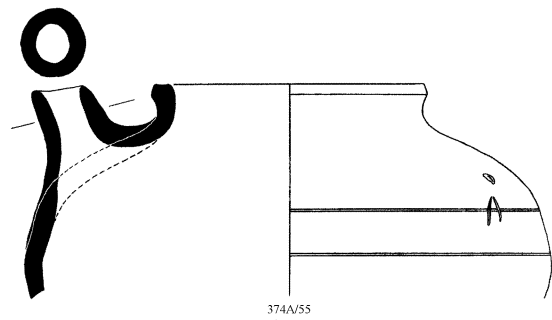
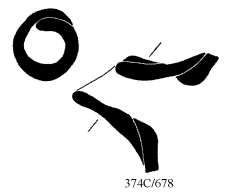
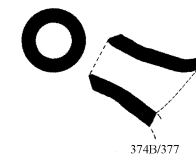
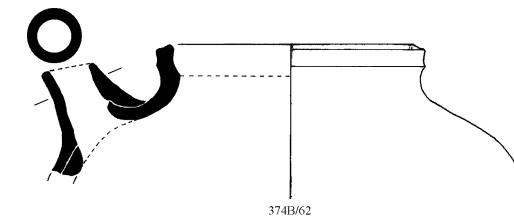
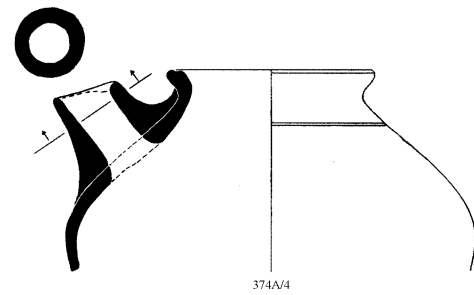
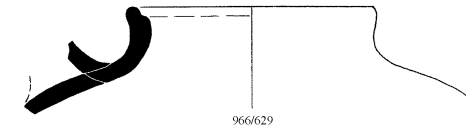
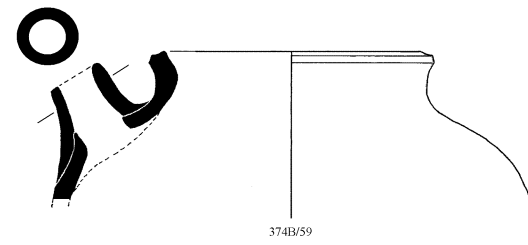
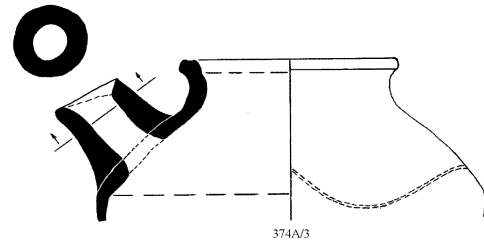
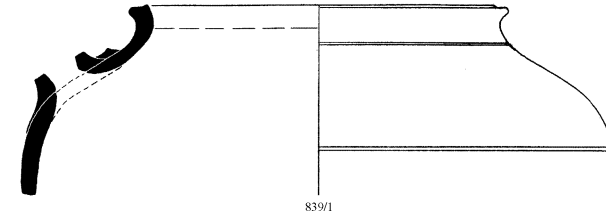
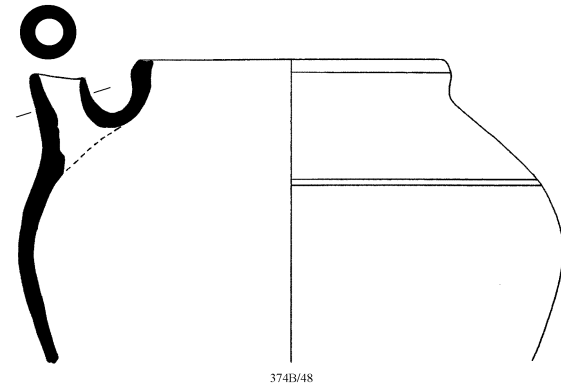
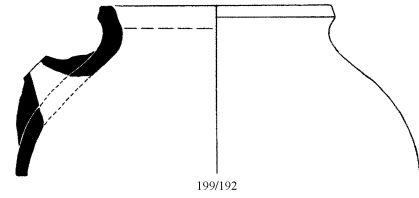


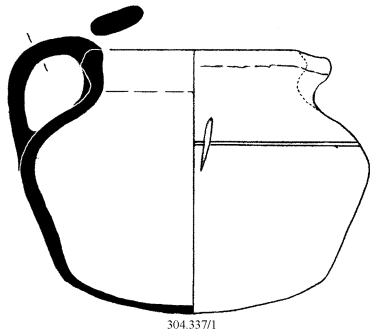
227/1

TAPADORA

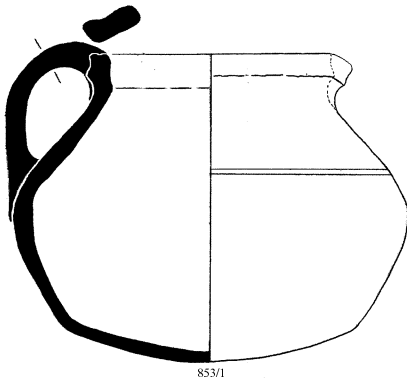
0 10 50
mm



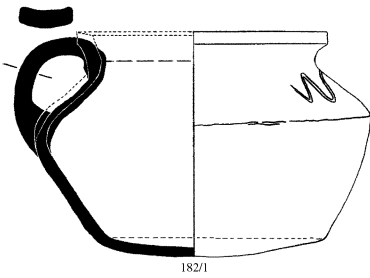




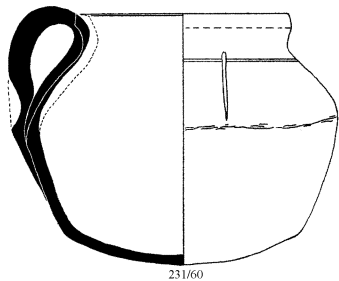
304.337/1



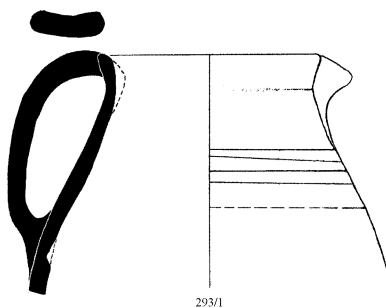
853/1



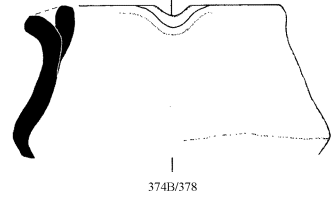
182/1



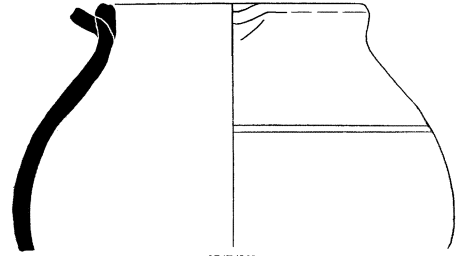
231/60



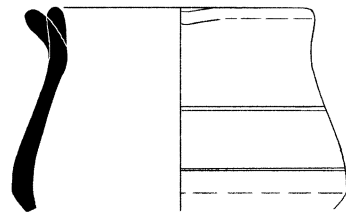
293/1



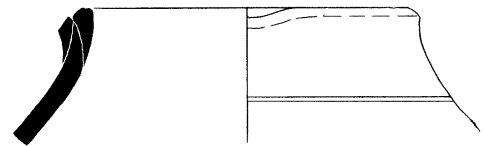
374B/378



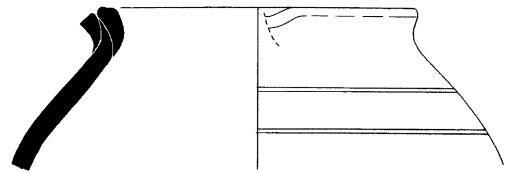
374B/560



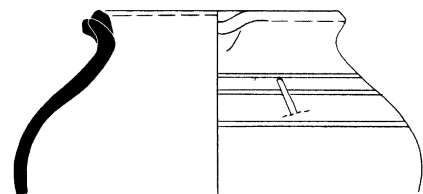
374C/174



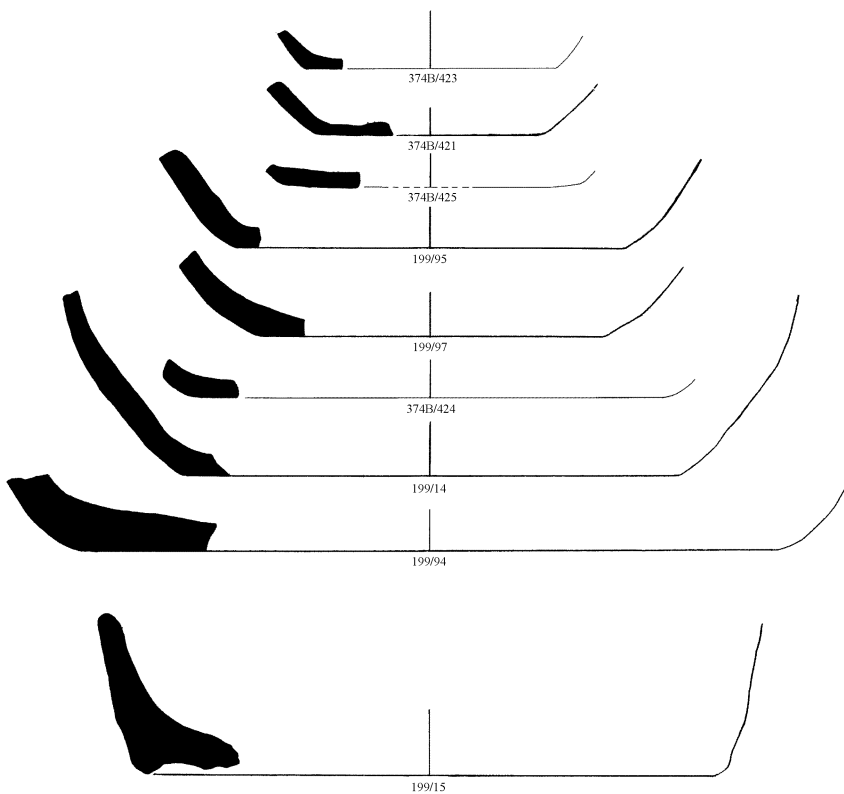
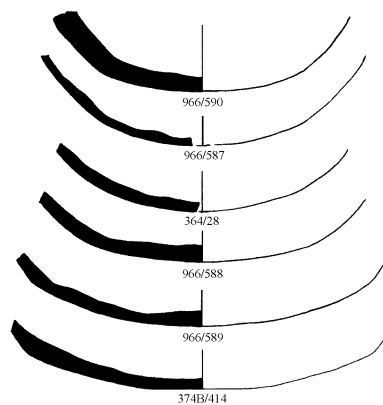
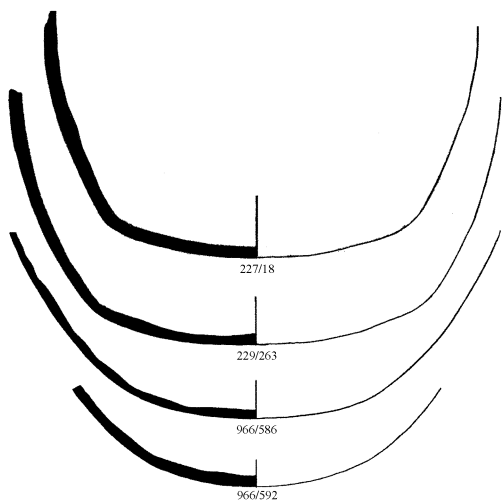
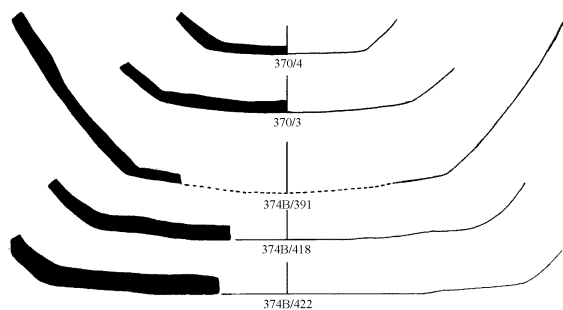
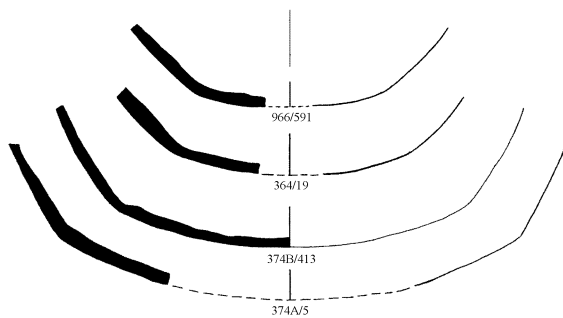
374C/579

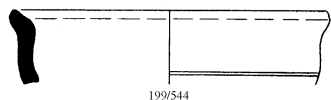


374C/580

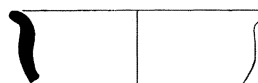


922/59

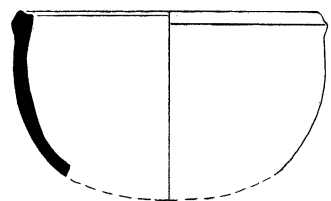




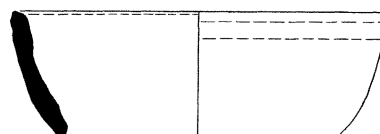
199/544



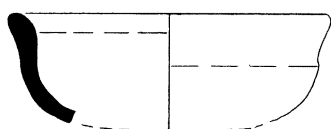
584/233



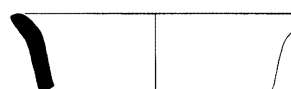
391/6



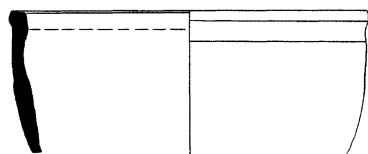
584/300



407/10



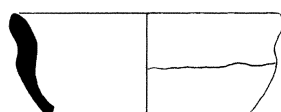
584/301



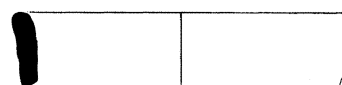
493/20



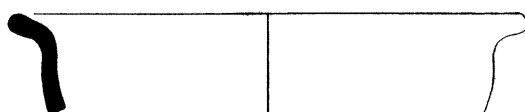
584/302



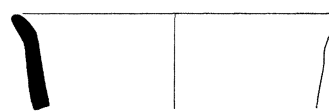
584/21



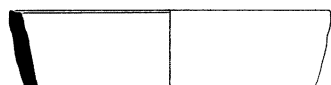
584/303



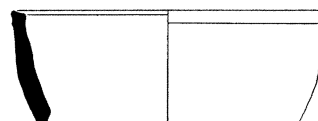
584/124



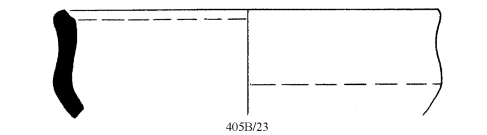
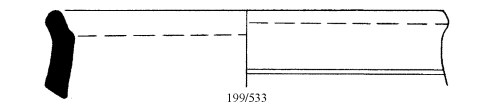
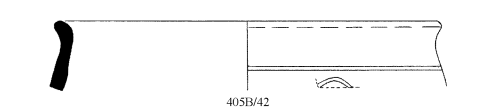
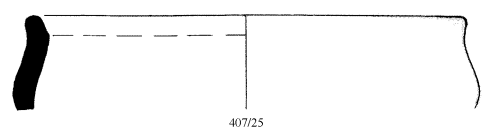
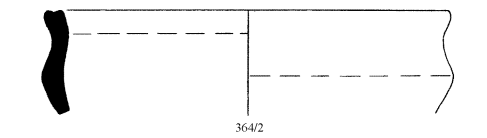
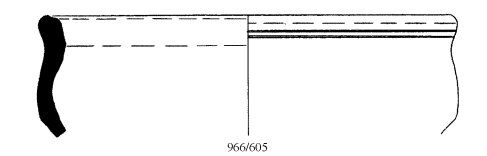
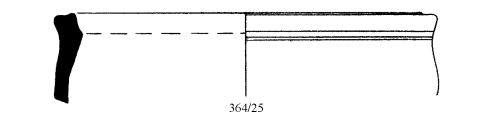
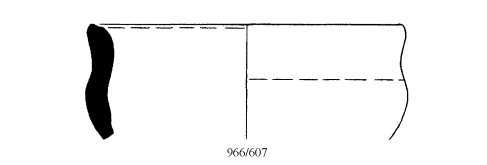
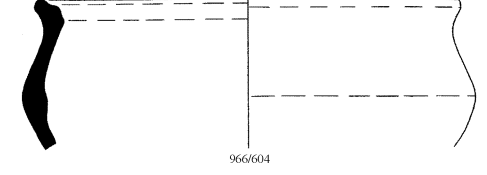
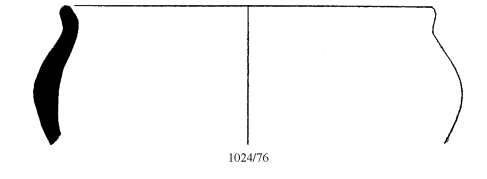
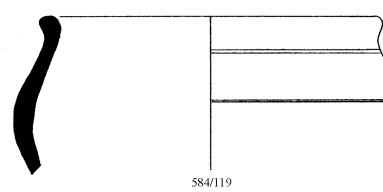
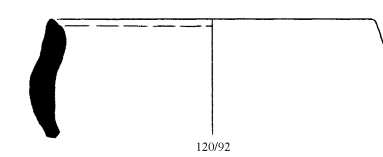
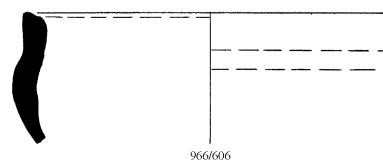
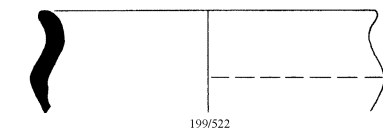
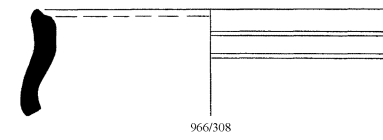
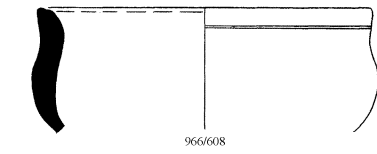
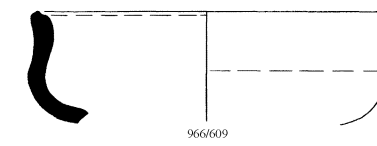
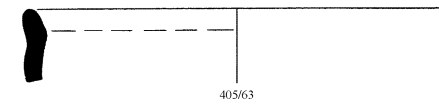
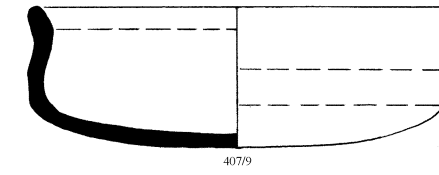
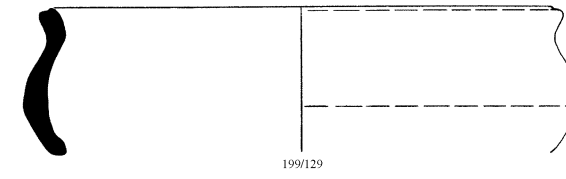
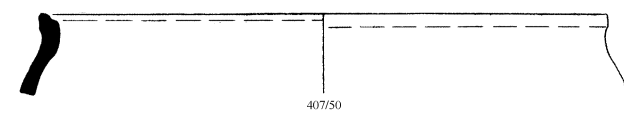
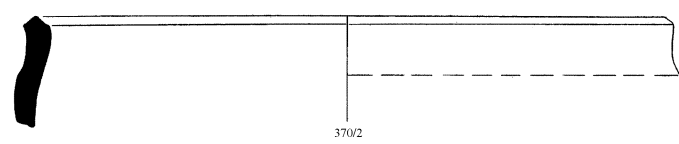
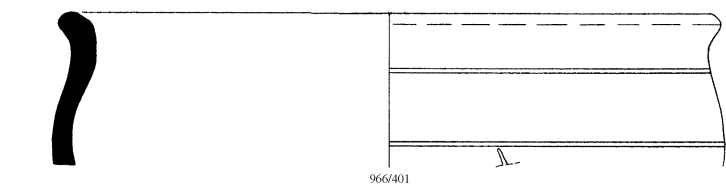
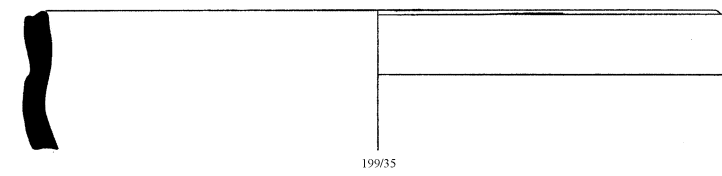
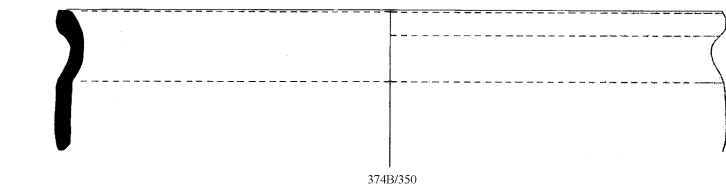
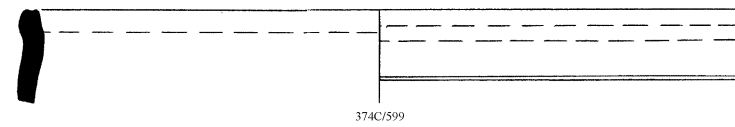
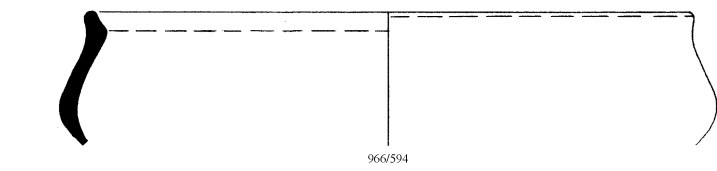
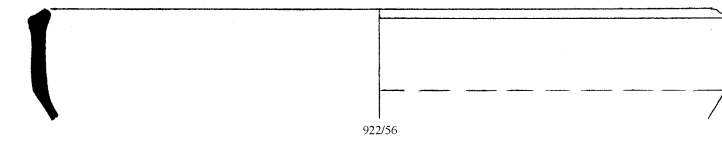
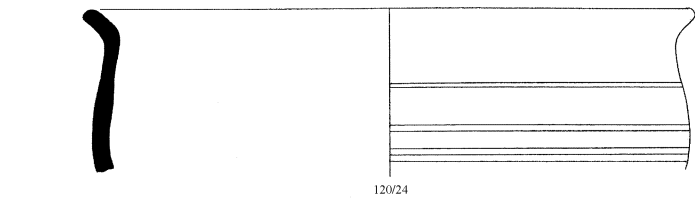
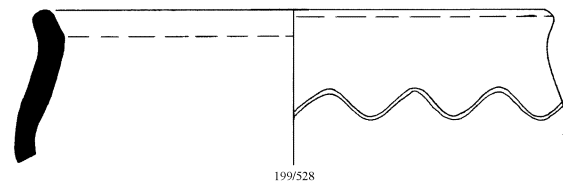
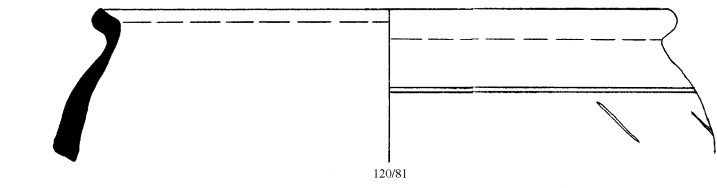
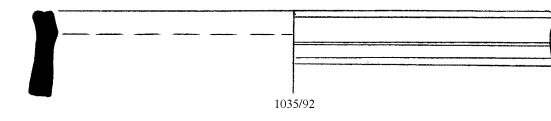
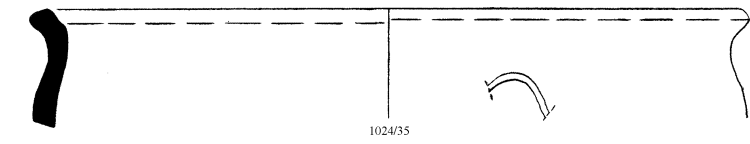
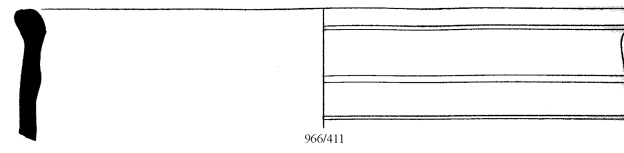
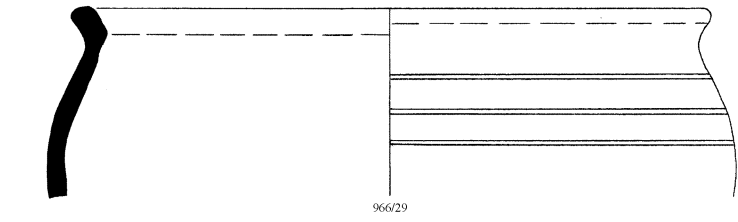
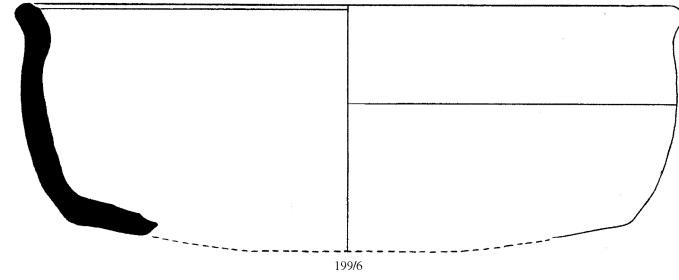
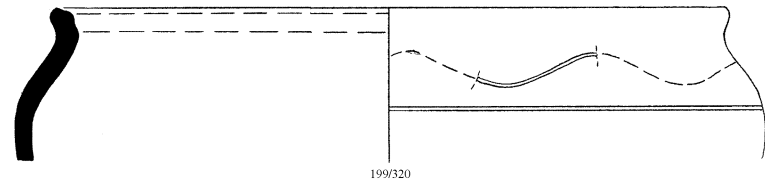
584/304



603/12

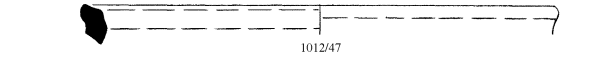
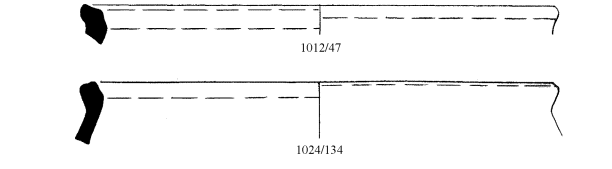
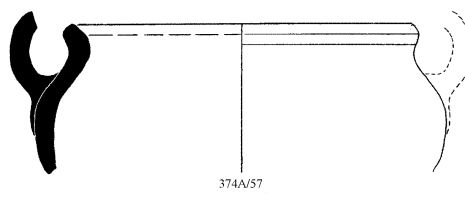
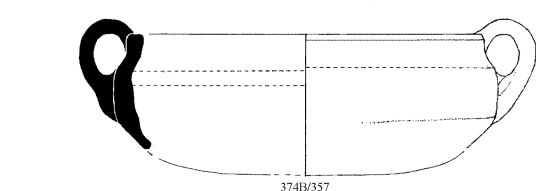
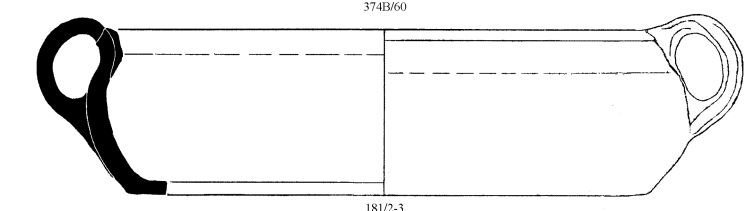
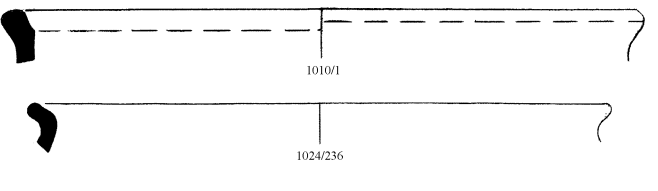
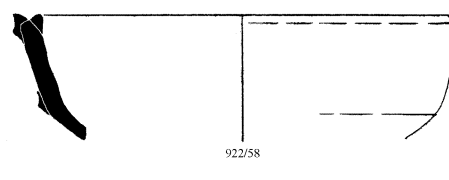
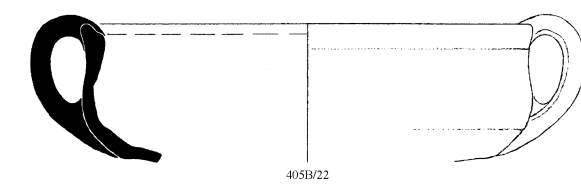
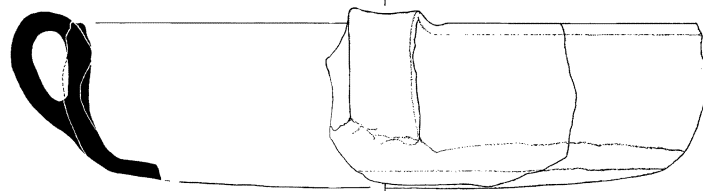
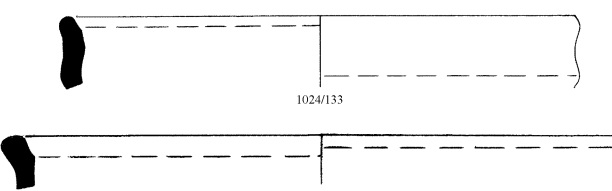
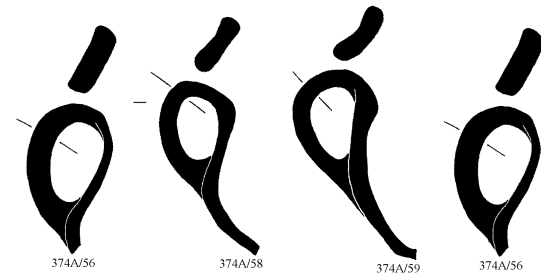
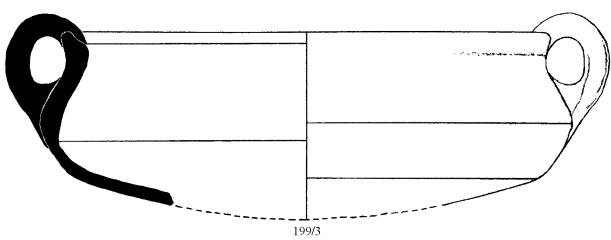
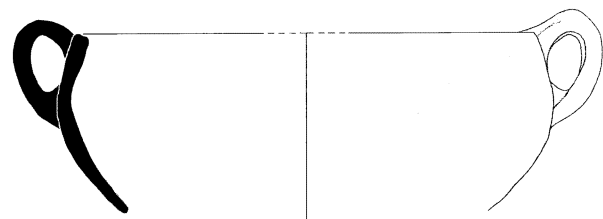
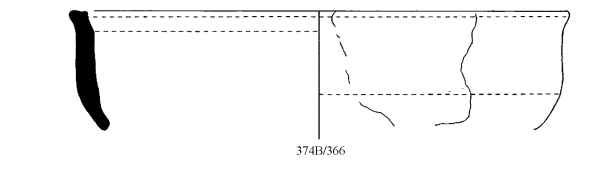
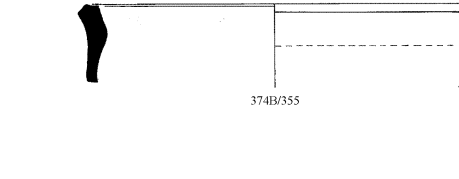
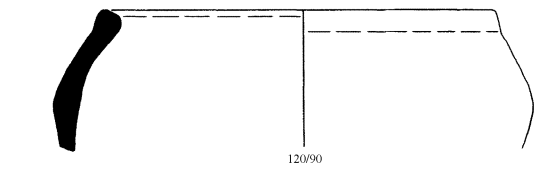
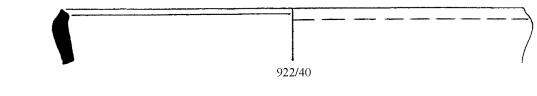
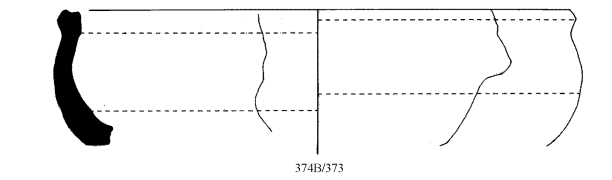
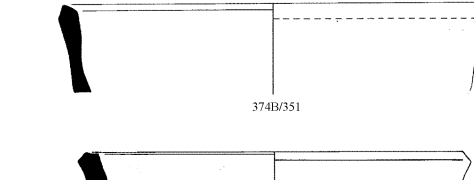
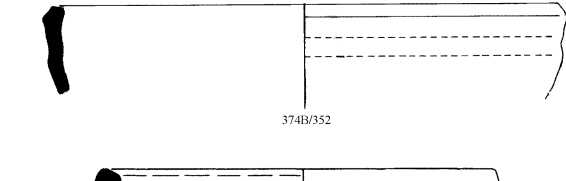
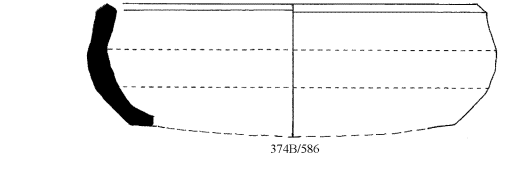
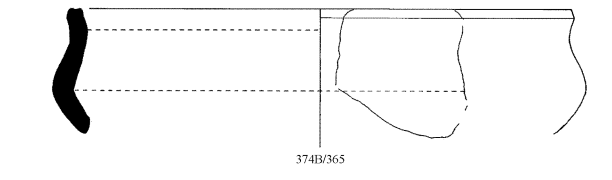
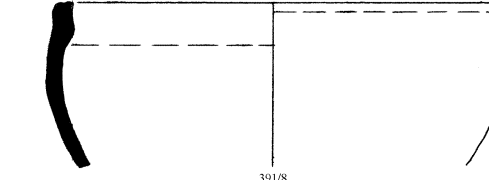
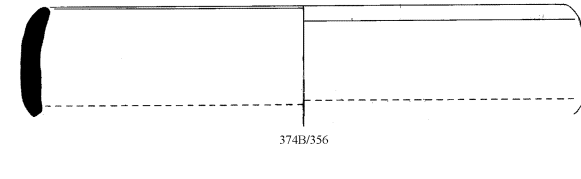
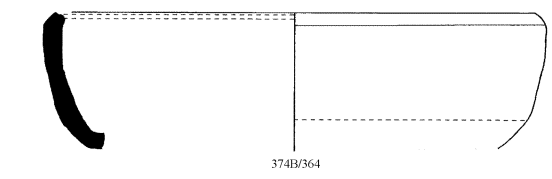
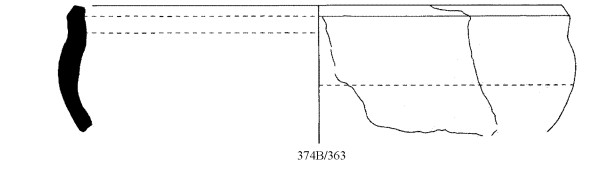
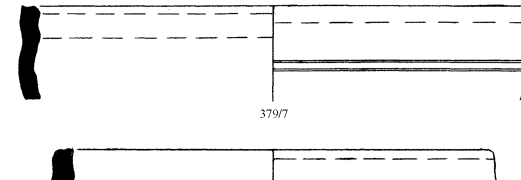
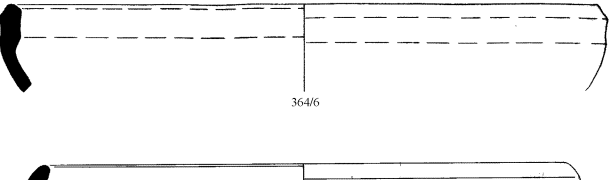
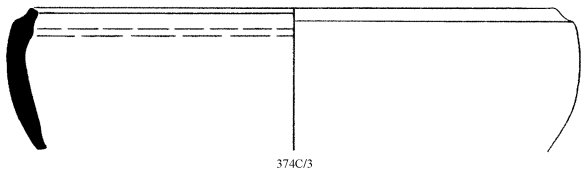
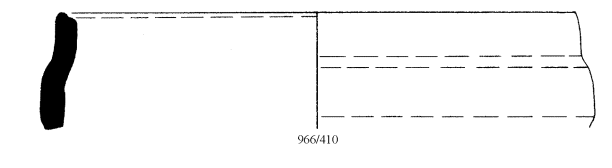
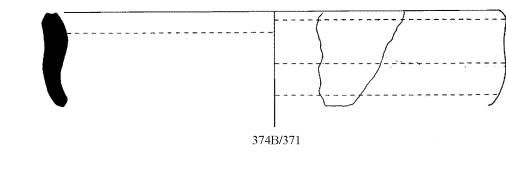
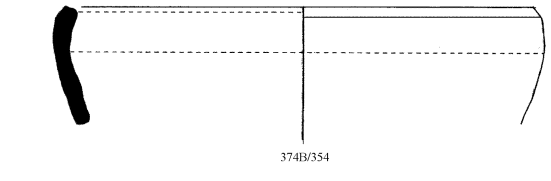
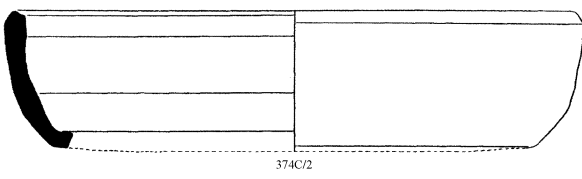
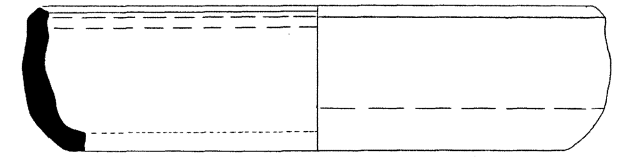
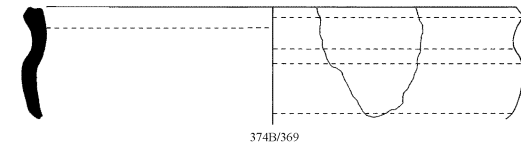
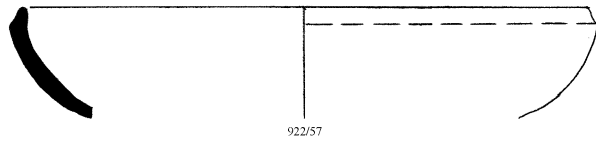
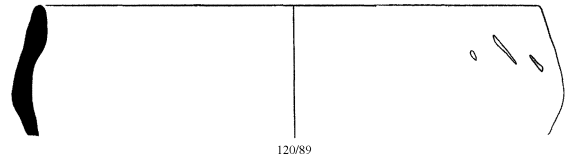


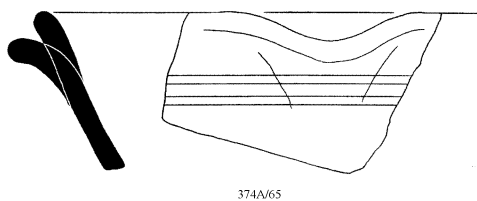
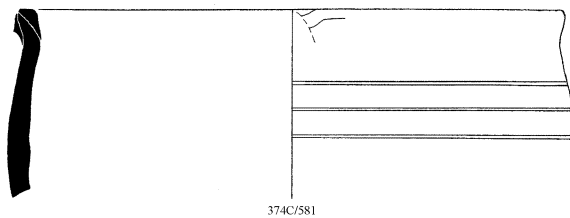
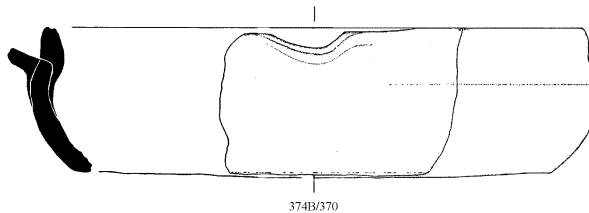
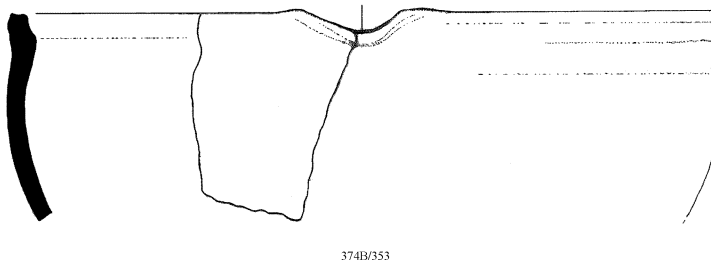
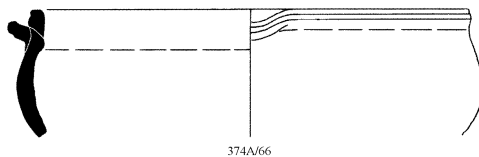
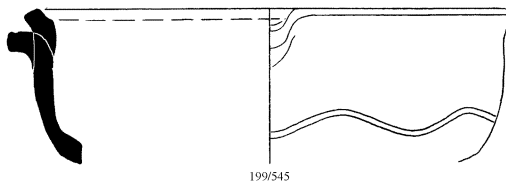
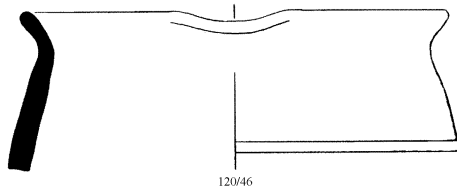
584/305

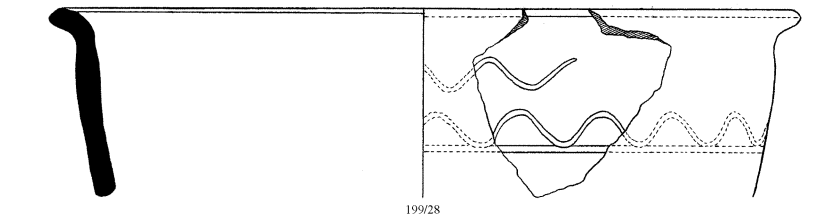


CASSOLA

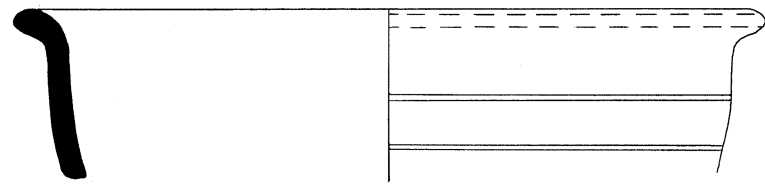
0 10 50
mm



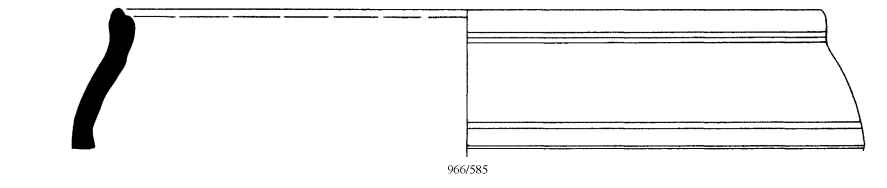




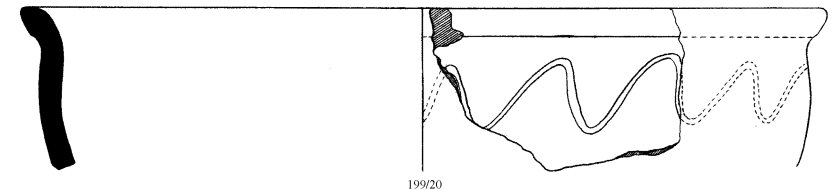
199/28



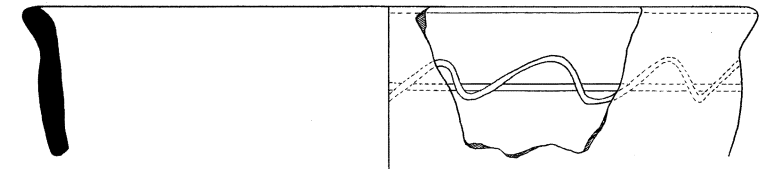
199/22



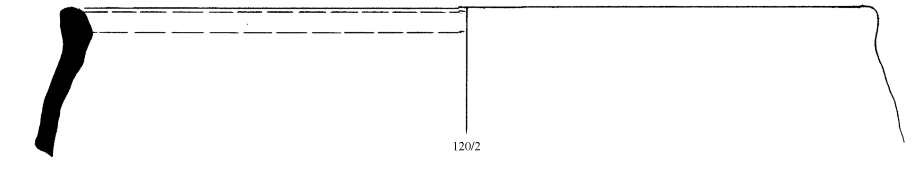
966/585



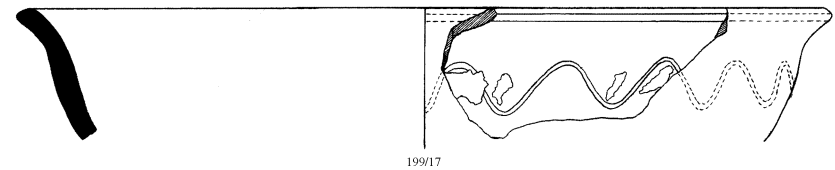
199/20



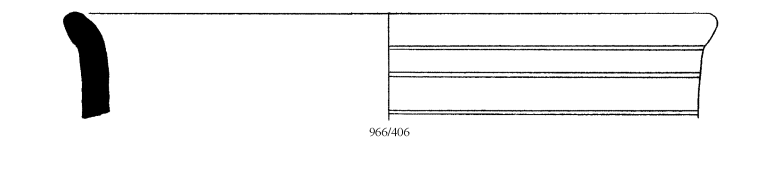
199/19



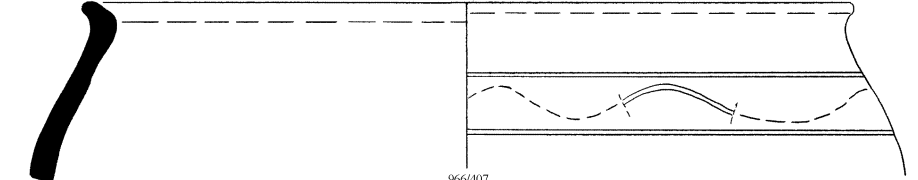
120/2



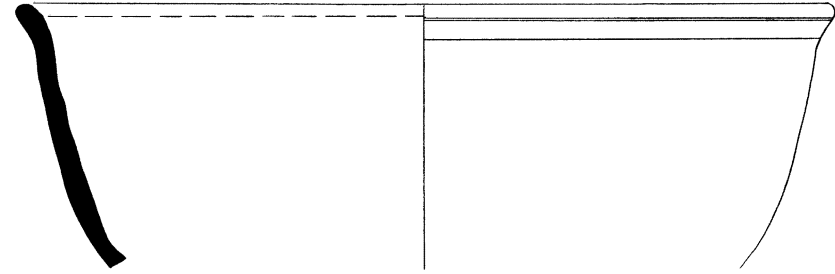
199/17



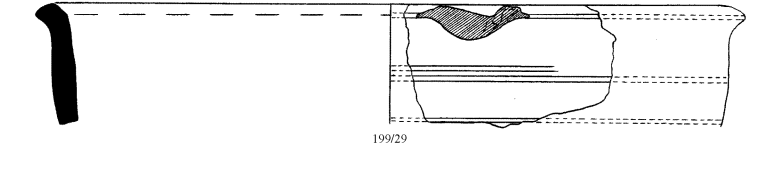
966/406



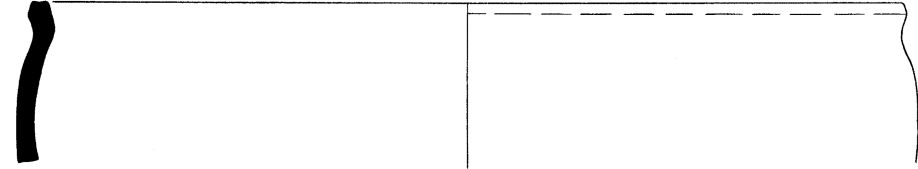
966/407



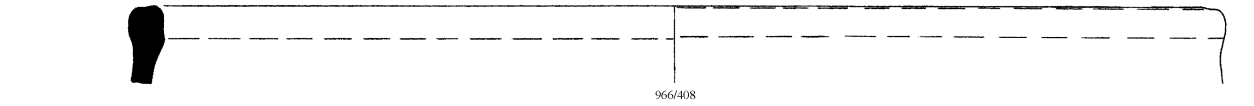
966/603



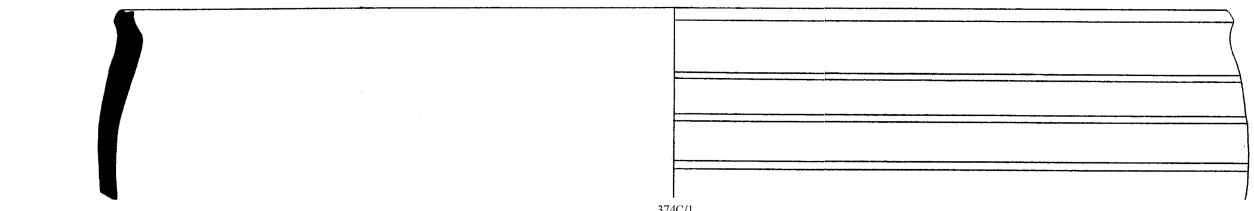
199/29



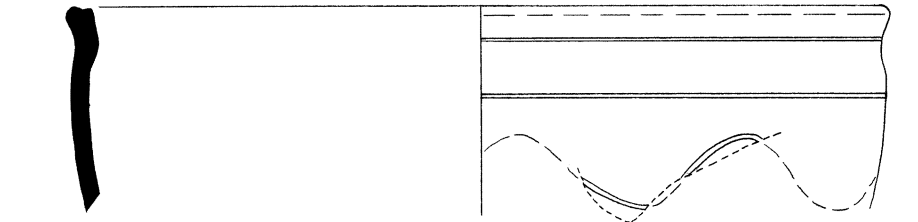
374C/188



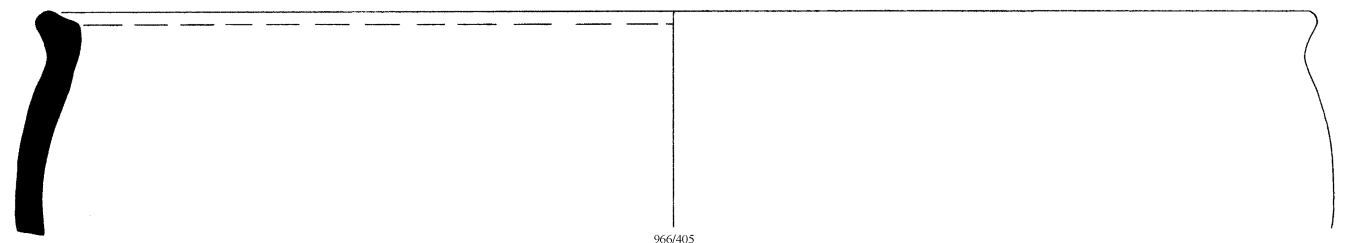
966/408



374C/1



966/402



966/405